



Jo Sindre P. Eidshaug og Staale Normann

# Arkeologisk undersøkelse av kokegropfelt fra yngre romertid – folkevandringstid på Nestvoldjordet i Verdal kommune

**NTNU Vitenskapsmuseet  
arkeologisk rapport 2018-12**





NTNU Vitenskapsmuseet arkeologisk rapport 2018:12

Jo Sindre P. Eidshaug og Staale Normann

**Arkeologisk undersøkelse av kokegropfelt på  
Nestvoldjordet, Verdal kommune**

## **NTNU Vitenskapsmuseet arkeologisk rapport**

Dette er en elektronisk serie fra 2014. Serien er ikke periodisk, og antall nummer varierer per år. Rapportserien benyttes ved endelig rapportering fra prosjekter eller utredninger, der det også forutsettes en mer grundig faglig bearbeidelse.

**Tidligere utgivelser:** <http://www.ntnu.no/vitenskapsmuseet/publikasjoner>

### **Referanse**

Eidshaug, J. S. P. & Normann, S. 2018: NTNU Vitenskapsmuseet arkeologisk rapport 2018:12. Arkeologisk undersøkelse av kokegropfelt på Nestvoldjordet i Verdal kommune

Trondheim, juni 2018

### **Utgiver**

NTNU Vitenskapsmuseet  
Seksjon for arkeologi og kulturhistorie  
7491 Trondheim  
Telefon: 73 59 21 16/73 59 21 45  
e-post: [post@vm.ntnu.no](mailto:post@vm.ntnu.no)

### **Ansvarlig signatur**

Bernt Rundberget (seksjonsleder)

### **Kvalitetssikret av**

Ellen Grav Ellingsen (serieredaktør)

### **Publiseringstype**

Digitalt dokument (pdf)

### **Forsidefoto**

Ortomosaikk av feltet, Da62552\_001. Illustrasjon: Jo Sindre P. Eidshaug, NTNU Vitenskapsmuseet  
Kokegrop 2638, Da62536\_080. Foto: Frode Iversen, NTNU Vitenskapsmuseet

[www.ntnu.no/vitenskapsmuseet](http://www.ntnu.no/vitenskapsmuseet)

ISBN 978-82-8322-147-3  
ISSN 2387-3965

## Sammendrag

Eidshaug, J. S. P. & Normann, S. 2018: NTNU Vitenskapsmuseet arkeologisk rapport 2018:12. Arkeologisk undersøkelse av kokegropfelt fra yngre romertid – folkevandringstid på Nestvoldjordet i Verdal kommune

I forbindelse med områderegulering for deler av Nestvold (gbnr. 16/1) i Verdal kommune, Trøndelag, oppstod en konflikt med et automatisk fredet kulturminne (id 215821) tolket som et bosetnings- og aktivitetsområde med spor etter både stolpehull og kulturlag knyttet til hus og kokegroper. Høsten 2017 undersøkte NTNU Vitenskapsmuseet lokaliteten ved bruk av maskinell flateavdekking. Av 61 kontekster som ble knyttet til lokaliteten, ble 12 tolket som kokegroper og 5 som øvrige førreformatoriske strukturer, 3 ble tolket som fossile lag, og 41 kontekster ble avskrevet som naturdannelser eller moderne. De potensielle sporene etter stolpehull fra hus ble omtolket til små kokegroper, og kulturlaget ble tolket som et mye yngre fossilt dyrkingslag. Lokaliteten ble derfor tolket som et kokegropfelt fra eldre jernalder med overvekt av dateringer til perioden yngre romertid – folkevandringstid (fase 2). Den eldste kokegropen synes derimot å være fra førromersk jernalder (fase 1). Et noe særskilt trekk ved kokegropene var at mange av disse var usedvanlig små, med tverrmål som ligger på mellom 0,44 m og 1,01 m. I tillegg til kokegropene har det blant annet blitt anlagt en mulig avfallsgrop i fase 2. Kokegropfeltet ble forlatt i løpet av folkevandringstid, og med unntak av sporadisk bruk synes området å ha ligget brakk til og med deler av middelalderen (fase 3). Sannsynligvis i løpet av middelalderen eller i begynnelsen av nyere tid (fase 4) har området blitt oppdyrket.

Nøkkelord: kokegropfelt – fossile lag – romertid – folkevandringstid

Jo Sindre P. Eidshaug og Staale Normann, NTNU Vitenskapsmuseet, Institutt for arkeologi og kulturhistorie, NO-7491 Trondheim

## Summary

Eidshaug, J. S. P. & Normann, S 2018: NTNU Vitenskapsmuseet arkeologisk rapport 2018:12. Archaeological excavation of a Late Iron Age – Migration Age cooking pit area at Nestvoldjordet in Verdal municipality

The planned zoning regulations concerning parts of the property Nestvold (16/1) in Verdal municipality, Trøndelag, affects a protected archaeological site (id 215821) with cultural monuments buried in the soil. The recorded monuments were formerly interpreted as postholes and cultural deposits (i.e., floor layer) belonging to a house and cooking pits, and the site was thought to have been used for dwelling and various other activities. During the autumn of 2017, the NTNU University Museum carried out an open-area excavation of the site. A machine was used to remove the plough soil, after which 61 contexts were recorded and excavated. Twelve of the features were interpreted as cooking pits and five as miscellaneous pre-Reformation features; three contexts were interpreted as fossilized layers, while the remaining 41 potential features were dismissed as natural or modern features. The potential postholes were shown to be small cooking pits, while the cultural deposits were reinterpreted as a much younger cultivation layer. Thus, the site was interpreted as an Early Iron Age cooking pit area dated mainly to the Late Roman Age – Migration Age (Phase 2), although the oldest cooking pit at the site dates back to the Pre-Roman Iron Age (Phase 1). A characteristic feature pertaining to the cooking pits is their small size, as their diagonals range from 0.44 m to 1.01 m. In addition to the cooking pits, Phase 2 yielded evidence of other features, such as a possible refuse pit. The cooking pit area was abandoned during the Migration Age, and, with the exception of occasional visits, the area show no evidences of usage before the Middle Ages (Phase 3). Later, probably during the Middle Ages or the early post-Reformation period (Phase 4), the soil was cultivated.

Key words: cooking pit area – fossilized layers – Roman Age – Migration Age

Jo Sindre P. Eidshaug & Staale Normann, NTNU University Museum, Department of Archaeology and Cultural History, 7491 Trondheim, Norway

# Arkivreferanser

Nestvoldjordet 2017

Intrasisnr	2017_143
AskeladdenID	215821
Saksnummer (ePhorte)	2016/1542
Aksesjonsnummer	2017/143
Tilvekstnr	T-27773
Fotonr	Da62536, Da62552
Kartskapnr	

Fylke	Trøndelag
Kommune	Verdal
Gårdsnavn	Nestvold
Gårdsnummer	16/1
Lokalitet	Nestvoldjordet
Kulturminnetype	Kokegropfelt
Datering	Eldre jernalder – nyere tid





# Innhold

<b>1. BAKGRUNNEN FOR UNDERSØKELSEN</b>	<b>13</b>
1.1. OMRÅDEBESKRIVELSE	13
1.2. KULTURHISTORISK BAKGRUNN OG TIDLIGERE REGISTRERINGER	16
<b>2. UNDERSØKELSENS RAMMER</b>	<b>18</b>
2.1. TID, DELTAGERE	18
2.2. PROBLEMSTILLINGER	19
2.3. METODE	19
2.4. DOKUMENTASJON	19
2.5. FORMIDLING	20
<b>3.0. UTGRAVNINGEN</b>	<b>21</b>
3.1. UTGRAVNINGSFELTET PÅ NESTVOLDJORDET	21
3.1.1. KOKEGROPPFELT	24
3.1.2. AVFALLSGROP	28
3.1.3. ILDSTED	30
3.1.4. ØVRIGE STRUKTURER	31
3.1.5. FOSSILE LAG	32
3.1.6. AVSKREVNE STRUKTURER	35
<b>4.0. FUNNMATERIALE</b>	<b>37</b>
4.1. GJENSTANDSFUNN	37
4.2. DATERINGER	37
4.3. MAKROFOSSILER	39
<b>5.0. RESULTATER</b>	<b>41</b>
<b>LITTERATURLISTE</b>	<b>43</b>
<b>VEDLEGG 1: UTGRAVNINGSTATISTIKK</b>	<b>45</b>
<b>VEDLEGG 2: FOTOLISTE</b>	<b>46</b>
<b>VEDLEGG 3: LISTE OVER FOTOGRAMMETRIER</b>	<b>49</b>
<b>VEDLEGG 4: FULLSTENDIG FUNNLISTE</b>	<b>50</b>
<b>VEDLEGG 5: KATALOGTEKST, T27773</b>	<b>51</b>
<b>VEDLEGG 6: RØNTGENFOTO AV JERNGJENSTANDER</b>	<b>53</b>

<b>VEDLEGG 7: KART</b>	<b>54</b>
<b>VEDLEGG 8: ORTOMOSAIKK</b>	<b>60</b>
<b>VEDLEGG 9: TEGNINGER</b>	<b>62</b>
<b>VEDLEGG 10: DATERINGER OG TREARTSBESTEMMELSE</b>	<b>64</b>
<b>VEDLEGG 11: MAKROFOSSILER</b>	<b>66</b>

## Figurliste

- Figur 1. Oversiktsbilde av utgravningsområdet før avdekkingen ..... **Feil! Bokmerke er ikke definert.**
- Figur 2. Oversikt over lokalitetens beliggenhet ..... **Feil! Bokmerke er ikke definert.**
- Figur 3. Ortofoto av lokalitetens omgivelser i 2017..... **Feil! Bokmerke er ikke definert.**
- Figur 4. Ortofoto av lokalitetens omgivelser i 1950..... **Feil! Bokmerke er ikke definert.**
- Figur 5. Jordprofil av typen fluvisol, hovedsakelig dannet av avsetninger av elvesedimenter .... **Feil! Bokmerke er ikke definert.**
- Figur 6. Skjermdump fra kulturminnedatabasen Askeladden som viser kulturminner i nærheten ..**Feil! Bokmerke er ikke definert.**
- Figur 7. Arbeidsbilde fra den maskinelle flateavdekkingen ..... **Feil! Bokmerke er ikke definert.**
- Figur 8. Oversikt over alle strukturer og lag på Nestvoldjordet..... **Feil! Bokmerke er ikke definert.**
- Figur 9. Frode Iversen dokumenterer en av de små kokegropene som ble påvist på Nestvoldjordet ..... **Feil! Bokmerke er ikke definert.**
- Figur 10. Kart med innmålinger av strukturer fra registreringen lagt over innmålingene fra utgravningen .... **Feil! Bokmerke er ikke definert.**
- Figur 11. Ortomosaikk av den midtre delen av feltet der strukturene ble påvist ..**Feil! Bokmerke er ikke definert.**
- Figur 12. Profilbilde av kokegrop 2594 ..... **Feil! Bokmerke er ikke definert.**
- Figur 13. Id 2283 ble tolket som en meget liten kokegrop..... **Feil! Bokmerke er ikke definert.**
- Figur 14. Renteingning av profilene til de undersøkte kokegropene på feltet..... **Feil! Bokmerke er ikke definert.**
- Figur 15. En annen liten kokegrop (id 2178) innenfor den vestre delen av feltet ..**Feil! Bokmerke er ikke definert.**
- Figur 16. Den største kokegropen på feltet, id 2638, målte i underkant av en meter i diameter **Feil! Bokmerke er ikke definert.**
- Figur 17. Profilbilde av den mulige avfallsgropen 2877..... **Feil! Bokmerke er ikke definert.**
- Figur 18. Renteingning av profilet til den mulige avfallsgropen..... **Feil! Bokmerke er ikke definert.**
- Figur 19. Renteingning av profilet til ildstedet ..... **Feil! Bokmerke er ikke definert.**
- Figur 20. Arbeidsbilde fra snittingen av ildstedet ..... **Feil! Bokmerke er ikke definert.**
- Figur 21. Renteingning av grop 2449 og mulige nedgravninger ..... **Feil! Bokmerke er ikke definert.**
- Figur 22. Grop 2449 i plan, med nedgravning 2470 i bakkant..... **Feil! Bokmerke er ikke definert.**
- Figur 23. Profilet til grop 2449 viser en tydelig kullrand i bunnen, noe som peker mot varmerelatert aktivitet ..... **Feil! Bokmerke er ikke definert.**
- Figur 24. Avdekking av fossilt dyrkingslag under matjorda i vestenden av feltet .**Feil! Bokmerke er ikke definert.**
- Figur 25. Ortomosaikk av profilet til den nordre feltgrensen ..... **Feil! Bokmerke er ikke definert.**
- Figur 26. De mørke lillabrune flekkene er restene (bunnen) av det fossile torvlaget ..... **Feil! Bokmerke er ikke definert.**
- Figur 27. Kari undersøker noen av de potensielle kulturlagene i nordenden av feltet som senere ble avskrevet ..... **Feil! Bokmerke er ikke definert.**
- Figur 28. Profilet til en av de største avskrevne strukturene ..... **Feil! Bokmerke er ikke definert.**
- Figur 29. OxCal-diagram som viser den kronologiske fordelingen til dateringene fra Nestvoldjordet..... **Feil! Bokmerke er ikke definert.**
- Figur 30. OxCal-diagram over dateringene fra Nestvoldjordet fordelt på fase 0 – 3 ..... **Feil! Bokmerke er ikke definert.**
- Figur 31. OxCal-diagram som viser dateringene fra Nestvoldjordet fordelt på de arkeologiske fasene 1 – 3... **Feil! Bokmerke er ikke definert.**
- Figur 32. Full matrise fra Nestvoldjordet ..... **Feil! Bokmerke er ikke definert.**

## Tabelliste

- Tabell 1. Arkeologiske perioder ..... **Feil! Bokmerke er ikke definert.**
- Tabell 2. Feltpersonell og tidsforbruk i felt ..... **Feil! Bokmerke er ikke definert.**
- Tabell 3. Oversikt over utgravningsdata..... **Feil! Bokmerke er ikke definert.**
- Tabell 4. Oversikt over kokegroper på feltet..... **Feil! Bokmerke er ikke definert.**
- Tabell 5. Oversikt over avfallsgroper på feltet..... **Feil! Bokmerke er ikke definert.**
- Tabell 6. Oversikt over ildsteder på feltet..... **Feil! Bokmerke er ikke definert.**
- Tabell 7. Oversikt over øvrige strukturer på feltet..... **Feil! Bokmerke er ikke definert.**
- Tabell 8. Oversikt over fossile lag som ble undersøkt ..... **Feil! Bokmerke er ikke definert.**
- Tabell 9. Oversikt over innsamlede gjenstandsfunn fra Nestvoldjordet ..... **Feil! Bokmerke er ikke definert.**

Tabell 10. Oversikt over innsendte og analyserte C14-prøver fra Nestvoldjordet .**Feil! Bokmerke er ikke definert.**  
Tabell 11. Foreløpig faseinndeling på Nestvoldjordet basert på utgravningsresultatene fra høsten 2017..... **Feil!  
Bokmerke er ikke definert.**  
Tabell 12. Resultater fra analysen av makrofossiler på Nestvoldjordet .....**Feil! Bokmerke er ikke definert.**



# 1. Bakgrunnen for undersøkelsen

Bakgrunnen for denne arkeologiske undersøkelsen er at en områderegulering for deler av eiendommen Nestvold, gnr 16 bnr 1, i Verdal kommune, Trøndelag fylke, er i konflikt med et automatisk fredet kulturminne med id 215821.

På bakgrunn av tidligere påviste automatisk freda kulturminner på naboeiendommen, gjennomførte Nord-Trøndelag Fylkeskommune en arkeologisk registrering i det berørte området i 2015 (Grimbe, 2015), der ble det påvist to automatisk fredete kulturminnelokaliteter. De to lokalitetene ligger i hver sin ende av det foreslåtte planområdet. Den ene lokaliteten, id 215819, omfattet kun en kokegrop, som det ble gitt forenklet dispensasjon for ettersom denne er enkeltstående og anses som tilstrekkelig dokumentert gjennom fylkeskommunens registrering. Den andre lokaliteten, id 215821, ble tolket som et noe større bosetnings- og aktivitetsområde med flere stolpehull, kokegrop og kulturlag. Området er av et slikt omfang og karakter at det ble vurdert nødvendig å foreta en særskilt arkeologisk undersøkelse før planen kan realiseres.

Tabell 1. Arkeologiske perioder. Illustrasjon: NTNU Vitenskapsmuseet

<b>Steinalder</b>	<b>9500 – 1700 f.Kr.</b>
<b>Bronsealder</b>	<b>1700 – 500 f.Kr.</b>
<b>Jernalder</b>	<b>500 f.Kr. – 1030 e.Kr.</b>
Eldre jernalder	500 f.Kr. – 575 e.Kr.
Førromersk jernalder	500 f. Kr. – 0
Romertid	0 – 400 e. Kr.
Eldre romertid	0 – 150 e. Kr.
Yngre romertid	150 – 400 e. Kr.
Folkevandringstid	400 – 575 e. Kr.
Yngre jernalder	575 – 1030 e.Kr.
Merovingertid	575 – 800 e.Kr.
Vikingtid	800 – 1030 e.Kr.
<b>Middelalder</b>	<b>1030 – 1537 e.Kr.</b>
Tidlig middelalder	1030 – 1130 e. Kr.
Høymiddelalder	1130 – 1350 e. Kr.
Senmiddelalder	1350 – 1537 e. Kr.
<b>Nyere tid</b>	<b>1537 e.Kr. -</b>

## 1.1. Områdebeskrivelse

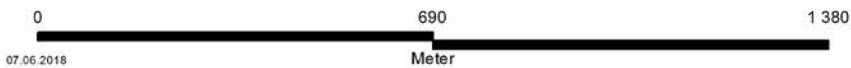
Planområdet ligger innenfor en kornåker tilhørende gården Nestvold øst (gnr. 16, bnr. 1) i Verdal kommune, Trøndelag fylke, like på utsiden av nordgrensen til den sammenhengende tettbebyggelsen til Verdal på østsiden av Verdalselva (figur 2). I hovedsak består det øvrige omgivende terrenget av store arealer med dyrket mark, og området i sin helhet er av karakter temmelig flatt, og preget av svake, langstrakte kurver. Historiske flyfoto fra 1950 viser et mye mer åpent og lignende jordbrukslandskap også mot sør (figur 4).



Figur 1. Oversiktsbilde av utgravningsområdet før avdekkingen. Sett mot vest. Foto: Kari Berg Dyrendal, NTNU Vitenskapsmuseet. (Da62536\_001)



Nestvoldjordet 2017



07.06.2018

Meter

Tegnforklaring

Lokalitet

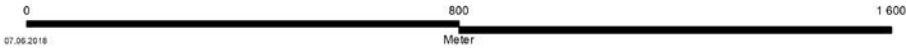
■ Id 215821

**NTNU**  
Vitenskapsmuseet  
Seksjon for arkeologi og kulturhistorie

Figur 2. Oversikt over lokalitetens beliggenhet. Illustrasjon: Jo Sindre P. Eidshaug, NTNU Vitenskapsmuseet



Nestvoldjordet 2017



Tegnforklaring

Id 215821

- Lokalitet
- Sikringssone



Figur 3. Ortofoto av lokalitetens omgivelser i 2017. Illustrasjon: Jo Sindre P. Eidshaug, NTNU Vitenskapsmuseet



Nestvoldjordet 1950



Tegnforklaring

Id 215821

- Lokalitet
- Sikringssone



Figur 4. Ortofoto av lokalitetens omgivelser i 1950. Illustrasjon: Jo Sindre P. Eidshaug, NTNU Vitenskapsmuseet



Jordsmonnet til utgravningsområdet er dannet av elveavsetninger (figur 5), der løsmassene i undergrunnen er avsatt før aktivitetssporene fra eldre jernalder som omfattes av id 215821. Ifølge strandlinjekurva for Verdalsøra har området der utgravningsfeltet ligger steget opp av havet mot slutten av steinalderen, ca. 2,500 – 2,000 f. Kr., og det vil ha ligget omtrent 10 m o.h. mot slutten av eldre jernalder (Sveian & Olsen, 1984; Svendsen & Mangerud, 1987: 122, 124).



**Figur 5. Jordprofil av typen fluvisol, hovedsakelig dannet av avsetninger av elvedeponer. De arkeologiske levningene som ble påvist på Nestvoldjordet ligger mellom matjorden helt i toppen og elveavsetningene. Sett mot V. Foto: Jo Sindre P. Eidshaug, NTNU Vitenskapsmuseet**

## 1.2. Kulturhistorisk bakgrunn og tidligere registreringer

Verdal er en kommune som er generelt rik på kulturminner og bosetningsspor. Verdalsøra ligger ved utløpet av Verdalselva, som går fra svenskegrensa ned til Trondheimsfjorden. Trolig har elva tidligere vært farbar et godt stykke lenger opp enn den er i dag. Verdal har hatt gode muligheter for landbruk, og sammen med gode kommunikasjonsmuligheter på fjorden, elva og til lands, også over fjellet mot Sverige, har Verdalen trolig vært et viktig knutepunkt og et velegnet bosetningsområde.

Nestvold ligger på en flate litt ovenfor selve Verdalsøra, og kan ifølge Oluf O. Rygh (1903: 120) ha inngått i en eldre og større gård Vold sammen med dagens Mikvold, Maritvold og Østvold. Delingen må ha forekommet mellom 1313 og 1430 ettersom Vælli (Vold) nevnes i *Diplomatarium Norvegicum I*, brev 137, datert til 16. april 1313, mens Margareta vallæ (Maritvold) nevnes i Aslak Bolts jordebok fra 1430-årene. Den eldste omtalen av gården Nestvold i historiske kilder finnes i *Norske Regnskaber og Jordebøger fra det 16de Aarhundrede* (1514 – 1521), under formen Nestewold (O. Rygh, 1903: 120).

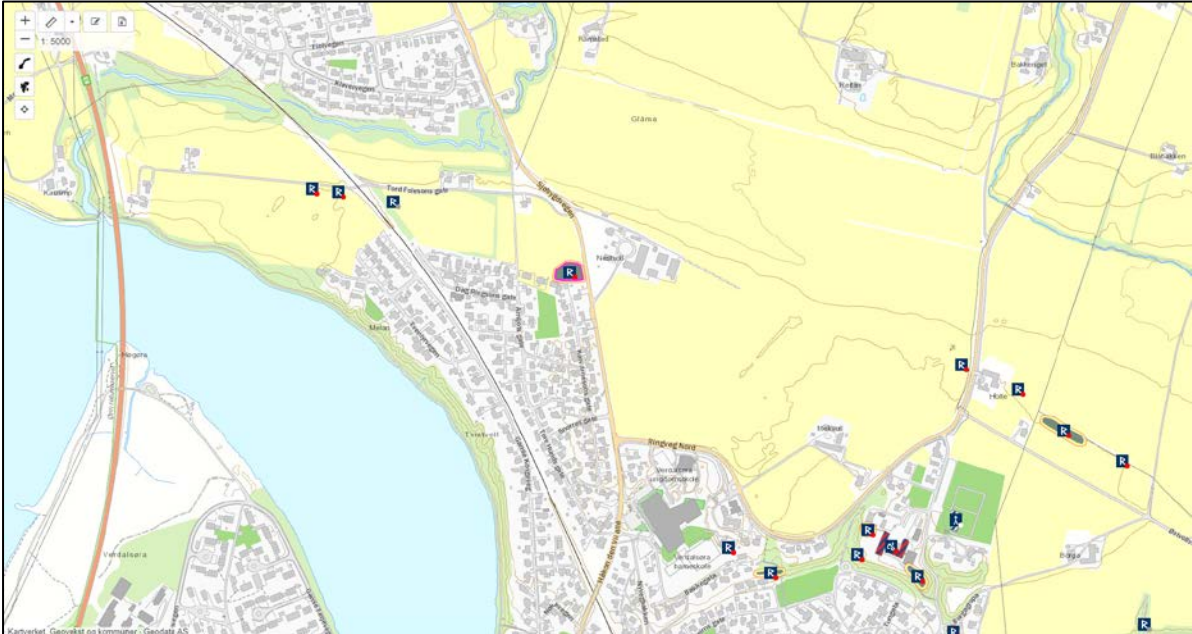
Det skal tidligere ha vært flere gravhauger på gården. Schøning beskriver fra sine reiser i 1774 at det ligger flere runde jordhauger i utmarken til Nestvold, «langs en gammel Elve-Mæl», men også en større haug på selve gårdstunet som allerede ved hans tid allerede var delvis utjevnet og avskåret av et hus med kjeller (Schøning, 1979[1778]: 84, 192). Disse haugene ble hverken gjenfunnet av Karl Rygh på 1870-tallet eller under ØK-registreringene i 1970 (Ertsås, 1970; K. Rygh, 1879: 136). I kulturminnedatabasen Askeladden er det registrert flere gravhauger og gravfelt som har en sannsynlig datering til jernalder et stykke sør og sørøst for feltet, på Mekvold, Maritvold og Østvold, hvorav den nærmeste i drøyt 700 meters avstand (figur 6). Mange av disse ligger dermed innenfor gårder som O. Rygh mener kan ha tilhørt den større Vold-gården.

Mellom 350 og 550 m vest-nord-vest for planområdet har det blitt påvist spredte forekomster av automatisk fredete kulturminner i form av to isolerte kokegrop (hhv. id 171272 og id 215819) og to mulige stolpehull som omslutter mindre forekomster av brente flater (id 171273). Den ene kokegropen (id 215819), som er radiologisk datert på bakgrunn av en sikker arkeologisk kontekst, har blitt tidfestet til overgangen bronsealder-førromersk jernalder. Det ene stolpehullet fra id 171273 ble også datert til slutten av bronsealder. Disse aktivitetssporene er i hovedsak betydelig eldre enn vår lokalitet.

Vår lokalitet, som ble tildelt id 215821, ble registrert av Nord-Trøndelag fylkeskommune høsten 2015, og rapport foreligger ved Jannika Grimbe (2015). Totalt ble det påvist seks strukturer som

ble tolket som en kokegrop, fire stolpehull og en stolpehull eller kokegrop, i tillegg til et kulturlag som ble tolket som et mulig gulvlag. Samlet sett ledet tolkningen til at disse sporene kunne representere levningene etter et hus. Kokegropen ble radiologisk datert til 415 – 560 e. Kr. (kalibrert), altså folkevandringstid.

Det har ikke blitt registrert løsfunn på Nestvold.



Figur 6. Skjermdump fra kulturminnedatabasen Askeladden som viser kulturminner i nærheten av undersøkelsesområdet. Lokiteten på Nestvoldjordet er markert. Kilde: <https://askeladden.ra.no/>

## 2. Undersøkelsens rammer

Problemstillingene var opprinnelig utviklet med tanke på en undersøkelse av hus fra folkevandringstid, noe som følger av den opphavelige tolkningen. Ettersom undersøkelsen var begrenset til en svært kort tidsramme, var det ikke tid til å endre problemstillingene.



Figur 7. Arbeidsbilde fra den maskinelle flateavdekkingen. Sett mot sørvest. Foto: Jo Sindre P. Eidshaug (Da62536\_004)

### 2.1. Tid, deltagere

Undersøkelsen av lokaliteten på Nestvoldjordet ble gjennomført i løpet av perioden 18.09. – 29.09.2017, med et totalt tidsforbruk på 225 timeverk tilknyttet feltarbeidet (inkludert pakking av utstyr og transport), jf. tabell 2. Prosjektleder var Staale Normann og feltleder var Jo Sindre P. Eidshaug.

Tabell 2. Feltpersonell og tidsforbruk i felt

Person	Stilling	Periode	Timeverk
Jo Sindre P. Eidshaug	Feltleder	18. – 29. sept.	75,0 t
Kari Berg Dyrendal	Feltassistent	18. – 29. sept.	75,0 t
Frode Iversen	Feltassistent	18. – 29. sept.	75,0 t
Total			225,0 t

Maskinfører under utgravningen var Jørgen Segtnan fra Lian Maskin. Det ble benyttet en Volvo 14-tonns gravemaskin med et 1,4 m bredt pusseskjær til flateavdekkingen. Totalt tok det 15,0 t med effektiv graving for å gjennomføre den maskinelle flateavdekkingen.

## 2.2. Problemstillinger

De overordnede problemstillingene som lå til grunn for utgravningen på Nestvold ble knyttet til en overordnet undersøkelse av gårdsbosetting i Verdal fra folkevandringstid, med hovedfokus på byggeskikk. Mer spesifikt hadde vi en intensjon om å kunne belyse byggeskikk gjennom kartlegging av huskonstruksjon, bygningselementer, rominndeling, funksjon og alder.

Problemstillingene var utarbeidet på bakgrunn av tolkningen av strukturene som ble registrert under forundersøkelsen i 2015 som stolpehull knyttet til en huskonstruksjon. En datering av en kokegrop fra lokaliteten antydte en aktivitetsfase i folkevandringstid. Tidligere arkeologiske undersøkelser av huskonstruksjoner i Verdal har hovedsakelig belyst byggeskikk i yngre bronsealder, førromersk jernalder og romertid. Dateringen av id 215821 antydte dermed potensialer for å undersøke en bygning fra folkevandringstid. Vi kjenner ingen bygninger fra denne fasen i Verdal, og den er generelt relativt underrepresentert når det gjelder bygninger i Midt-Norge. Folkevandringstid er en fase som leder opp til gjennomgripende samfunnsendringer i overgangen mellom eldre og yngre jernalder. I dette bildet inngår endringer i byggeskikk, nedlegging av bruk og sentralisering av bosettingen. Det var derfor forespeilet at en undersøkelse av det berørte området på Nestvold hadde potensialer til å belyse byggeskikk og bosetting fra en fase der gårdsbosettingen generelt er lite belyst i landsdelen.

Etter strukturenes diameter og tydelighet å bedømme, var tolkningen sannsynlig ut i fra det begrensede inngrepet fylkeskommunen har myndighet til å foreta i uregistrerte automatisk fredete kulturminner. Vår undersøkelse har imidlertid omtolket alle de registrerte strukturene som lå innenfor plangrensen til kokegroper, mens kulturlaget ble tolket som et yngre fossilt dyrkingslag. De øvrige strukturene som ble utgravd var nesten utelukkende kokegroper, i tillegg til en avfallsgrop, en grop av ukjent art, et ildsted og to usikre nedgravinger. Undersøkelsen kan derfor ikke bidra til å svare på de spesifikke problemstillingene som ble utviklet i prosjektplanen.

## 2.3. Metode

Undersøkelsen på Nestvoldjordet fulgte prinsippene til maskinell flateavdekking (jf. Løken, Pilø, & Hemdorff, 1996). Metoden innebærer at matjordlaget blir fjernet med gravemaskin og renses med krafse for å søke etter strukturer som kutter ned i steril grunn eller eventuelle lag mellom matjord og steril grunn. Lagene og strukturene som kutter disse undersøkes først. Deretter følges de samme prinsippene for maskinell avdekking inntil steril grunn er nådd innenfor hele feltet. I praksis avdekkes gjerne en 3 – 5 m bred sjakt (avhengig av gravemaskinens rekkevidde) i hele feltets lengderetning innen prosessen gjentas i en parallell sjakt som overlapper den forrige sjakten inntil ønsket område er avdekt.

På Nestvoldjordet ble det påvist lag mellom matjorden og steril grunn innenfor den vestre delen av feltet. Disse ble undersøkt for potensielle strukturer og delvis sondert med metalldetektor for gjenstandsfunn. Det ene laget (fossilt dyrkingslag, id 2008) ble deretter fjernet i to omganger, der toppen av det andre nivået ble lagt til et potensielt lagskille (fargenyanse). Prosessen med å søke etter strukturer og metallfunn ble deretter gjentatt før laget ble fjernet med maskin. Under dette ble ytterligere et lag (fossil torvoverflate, id 2054) påvist. Også dette ble gjennomført for strukturer og delvis for metallfunn innen det ble fjernet med maskin. Kun i den første sjakten ble lagene avdekket i sin helhet før de ble fjernet, innenfor den øvrige delen av feltet ble sekvensene gjentatt stegvis innenfor gravemaskinens rekkevidde.

Strukturene på feltet ble undersøkt med metalldetektor og ved snitting. Snitting innebærer at en halvdel blir gravd ut for å danne et jordprofil som viser strukturens vertikale form. På Nestvoldjordet ble all snitting gjort manuelt med graveskje og/eller spade. Massene til enkelte av strukturene ble såldet.

## 2.4. Dokumentasjon

Strukturene som ble påvist ble målt inn med CPOS og tildelt et unikt id-nummer etter løpe-nummeret til måleboken. De ble deretter fotografert i plan før utgraving, og profilet ble fotografert

etter utgraving. Profilene til de positive (verifiserte) strukturene ble deretter dokumentert med tegning i målestokk 1:10 samt beskrivelse i kontekstskjema i FileMaker Go.

Til fotodokumentasjon ble det benyttet to digitale kompaktkamera, henholdsvis av typene Olympus TG-4 og Olympus TG-860, som også tok opp bilder i råformat (ORF-filer). Til å ta oversiktsbilder i plan ble det benyttet fotostang. Fotolister for de enkelte kamera ble ført i FileMaker Go.

Fotogrammetrisk dokumentasjon ble benyttet som grunnlag for generering av ortofoto av større feltsituasjoner (erstatte enklere oversiktsfoto), tredimensjonale arbeidsmodeller, samt som grunnlag for profilskisser.

GIS-data og skjemadata har blitt behandlet i Intrasys og i ArcMap. Felttegningene har blitt rentegnet i Adobe Illustrator.

Fra et utvalg av strukturene ble det samlet inn jordmasser til C14-prøver og makrofossilprøver. Elleve C14-prøver og åtte makrofossilprøver ble sendt inn til analyse henholdsvis til Nasjonallaboratoriene for datering v/NTNU og Natur og Kultur v/Annine Moltsen.

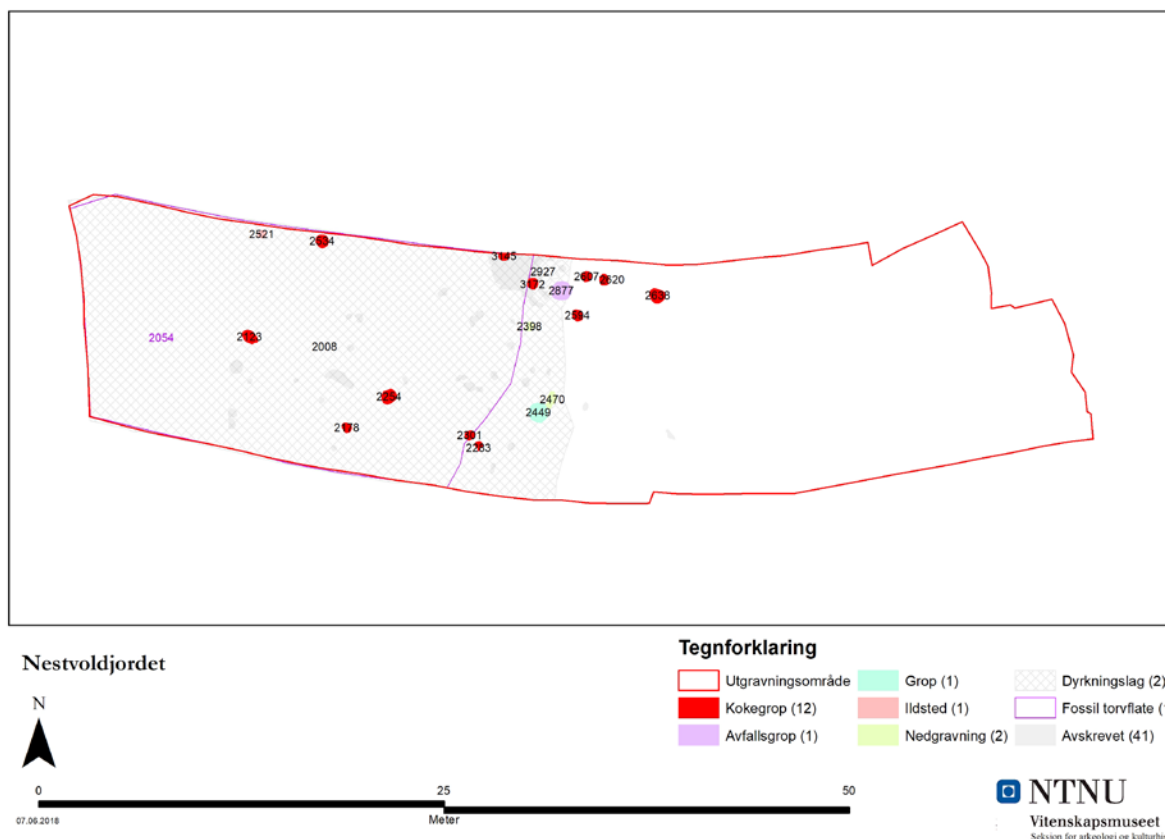
## 2.5. Formidling

Undersøkelsen hadde en begrenset tidsramme på 2 uker, og formidlingen ble derfor rettet mot besøkende i felt.

### 3.0. Utgravningen

Undersøkelsen foregikk i perioden 18.09. – 29.09.2017, i varmt og fint høstvær. Den lave solen og skyggene fra trærne bød på noen utfordringer særlig med hensyn til fotodokumentasjon. Ved foto-grafering av mindre motiver, slik som strukturer, kunne dette motvirkes ved å danne fullstendige skygger.

Under avdekkingen ga den løse elvesanden lett etter for tyngden av graveskuffa, og gjorde det krevende å holde avdekkingen nøyaktig på nivået for skillet mellom matjorda og undergrunnen. Maskinfører gjorde likevel en veldig god jobb, og holdt jevnt over nivået til lagskillet uten stedvis å skjære mer enn noen få cm ned i undergrunnen.



Figur 8. Oversikt over alle strukturer og lag på Nestvoldjordet. Illustrasjon: Jo Sindre P. Eidshaug, NTNU Vitenskapsmuseet

#### 3.1. Utgravningsfeltet på Nestvoldjordet

Relativt tidlig i undersøkelsen ble det klart at vi sto ovenfor et kokegropfelt, og at strukturene som ble påvist under registreringen og tolket som stolpehull var små kokegroper. Årsaken til at dette kom såpass godt frem, var at vi under flateavdekkingen av det samme området gikk noe cm dypere enn fylkeskommunens sjakter. Dermed kom kokegropbunnen, representert ved kullranden, tydelig frem. Dette gjelder særlig id 2607, id 2620 og id 2638 (jf. figur 14, figur 16 og tabell 4). Snittingen av flere av de potensielle stolpehullene (basert på dimensjoner) i plan viste også at dette var levninger etter kokegroper (kullrender og fragmenter av varmepåvirket stein), eller at de kunne avskrives som linser (naturdannelser slik torvjordsflekker beliggende i svake forsenkninger i den løse elvesanden).

Blant de øvrige strukturene ble det identifisert en avfallsgrop, en grop med usikker varmerelatert funksjon, ett ildsted og to mulige nedgravninger. Alle strukturene ble påvist i steril grunn.

Strukturene på feltet dateres i hovedsak til perioden yngre romertid – folkevandringstid (jf. kap. 4.2.), noe som altså må forstås som hovedbruksfasen. I tillegg ble en kokegrop datert til førromersk

jernalder, mens en sekundærfase til avfallsgropen ble datert til overgangen sen merovingertid – tidlig vikingtid.

**Tabell 3. Oversikt over utgravningsdata**

Avdekt areal:	852 m <sup>2</sup>
Totalt antall kontekster:	61
Antall arkeologiske strukturer:	17
Antall arkeologiske lag:	3
Antall avskrevne kontekster:	41
Løpenummer i felt (intervall):	2000 – 4000
Antall hus:	0

Innenfor den vestre delen av feltet ble det påvist et lag med fossil torv (id 2054) over den sterile undergrunnen. Innenfor torvlagets utbredelse, lå det også stratigrafisk *over* alle strukturer, som inkluderer flere kokegropene (id 2123, id 2178, id 2254, id 2534 og id 3145) og et ildsted (id 2521). Torvlaget lå faktisk delvis nedsunken i toppen av flere av strukturene (jf. figur 14 og figur 15). Laget kan dermed trolig tolkes som levninger etter gjengroingen av området etter at kokegropfeltet har blitt forlatt. Den eldste dateringen av torvlaget stammer fra folkevandringstid, mens den yngste stammer fra høymiddelalder (jf. kap. 3.1.4. og 4.2.).

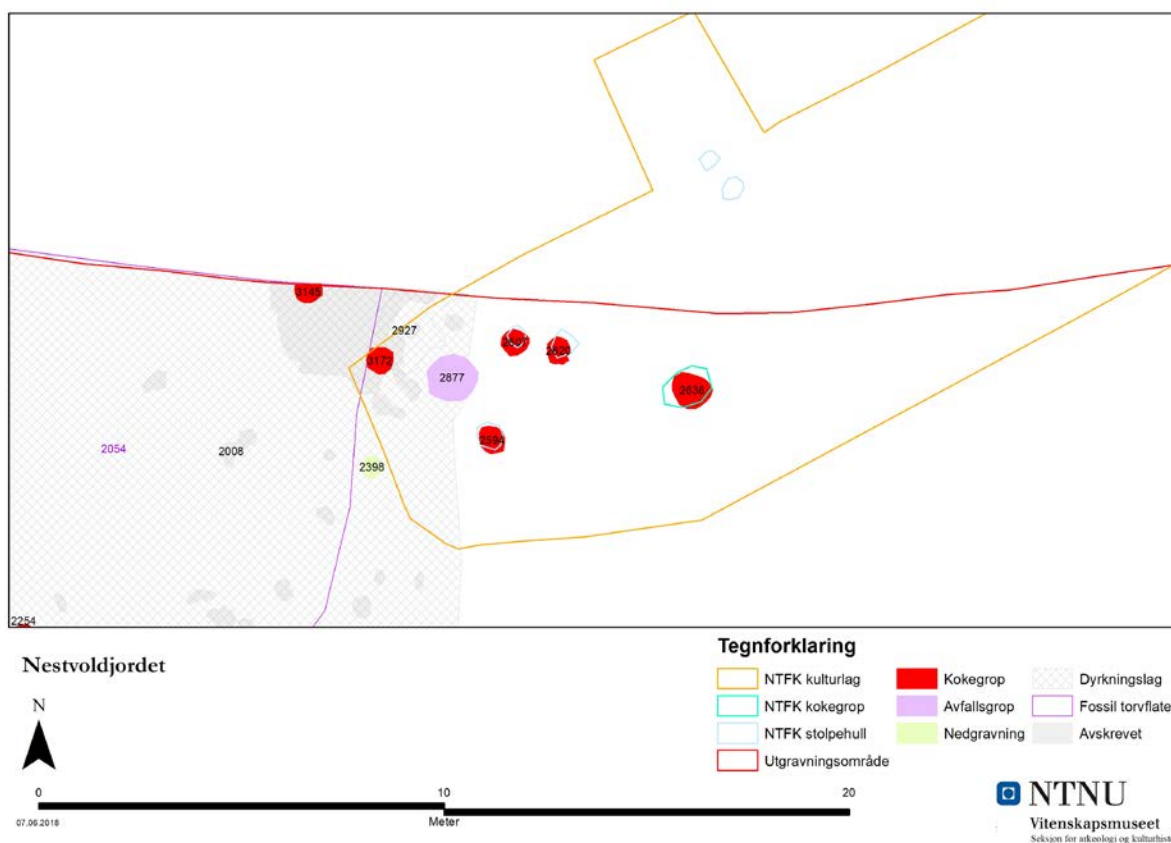


**Figur 9. Frode Iversen dokumenterer en av de små kokegropene som ble påvist på Nestvoldjordet. Sett mot øst-nordøst. Foto: Jo Sindre P. Eidshaug, NTNU Vitenskapsmuseet (Da62536\_031)**

Over torvlaget (id 2054), og stratigrafisk direkte over enkelte andre strukturer, deriblant kokegropene (id 2283, id 2301 og id 3172), en avfallsgrop (id 2877), en grop (id 2449) og to mulige nedgravinger (id 2398 og id 2470), ble det påvist et lag med humøs sandgrus som tolkes som et fossilt dyrkingsslag (id 2008/id 2927). Ettersom laget ligger over den fossile torvjorden innenfor den østre delen av feltet, er det grunn til å tro at laget er atskillig yngre. Gjengroingen må ha foregått over en lengre

periode ettersom pløyingen av dyrkingslaget ikke har skåret såpass dypt at hele torvlaget har blitt blandet inn. Alternativt kan id 2008/id 2927 stamme fra påførte masser. C14-prøvene av laget ga dateringsresultater til folkevandringstid, men stratigrafiske forhold tilsier at laget beviselig er *yngr* enn den fossile torven. Laget må derfor trolig dateres til middelalder–nyere tid.

Innenfor den østre delen av feltet har den moderne dyrkingen skåret vekk eventuelle lagavsetninger mellom matjord og steril undergrunn. Om geometrien til fylkeskommunens kulturlag (id 215821-1) stemmer, og at dette kan tolkes som det samme som id 2008/id 2927, ligger faktisk alle de *bevarte* strukturene på feltet under dyrkingslaget fra middelalder – nyere tid (se figur 10).



**Figur 10.** Kart med innmålinger av strukturer fra registreringen lagt over innmålingene fra utgravningen. Illustrasjon: Jo Sindre P. Eidshaug, NTNU Vitenskapsmuseet

I den midtre delen av feltet, inntil den nordre feltgrensen, ble det under den maskinnelle avdekkingen satt igjen et begrenset område med organiske lagavsetninger ettersom det var mistanke om at noen av disse kunne være kulturlag. Disse ble undersøkt manuelt etter prinsippene for single context-metoden. Massene ble både undersøkt med metalldetektor og delvis såddet uten at det ble gjort noen gjenstandsfunn. Kullinnholdet i noen av lagene ble tolket til å stamme fra utdratte kokegrop eller fra overliggende dyrkingslag. De fleste kontekstene som ble undersøkt ble senere tolket som naturdannelser – i likhet med hele den fossile torvflaten 2054 – og dermed avskrevet. Ett av lagene, id 2927, som var mye mørkere og inneholdt mer kull, ble imidlertid tolket som et fossilt dyrkingslag. Som påpekt ovenfor, tolkes laget som det samme som id 2008, og det ligger også stratigrafisk over torvhorisonten.

Fargen i undergrunnen varierte fra brunoransje i øst der den lå direkte under matjorden eller det fossile dyrkingslaget til en blekere gråfarge i vest som følge av utvasking under den fossile torvhorisonten.

Helt i den østre delen av utgravningsfeltet ble det gravd et dypt jafs (ca. 1,7 m dypt) ned i elveavsetningen for å oppnå en bedre forståelse av områdets utvikling før jernalderen (figur 5). Deriblant ønsket vi å undersøke om det fantes spor kulturlagsavsetninger lenger nede. Ingen slike



ble observert, og ved 1,7 m begynte det å sive inn vann – noe som gjorde det naturlig å avslutte søket. På dette nivået ble det imidlertid funnet naturlig organisk materiale av tre (bestemt som or), som ble datert til 2800 – 2500 f. Kr. i mellomneolittikum, dvs. i perioden området lå helt i strandkanten (jf. kap. 1.1.).



Figur 11. Ortomosaikk basert på fotogrammetri Da62552 av den midtre delen av feltet der strukturene ble påvist. Se vedlegg 7 for identifikasjon. Illustrasjon: Jo Sindre P. Eidshaug, NTNU Vitenskapsmuseet

### 3.1.1. Kokegropfelt

Feltet domineres av kokegropene (figur 8), og lokaliteten tolkes derfor som et kokegropfelt. Totalt 12 strukturer ble tolket som kokegrop, jf. tabell 4.

Tabell 4. Oversikt over kokegropene på feltet. \*) Dateringsresultat fra Nord-Trøndelag fylkeskommunes registrering, hentet fra Askeladden (id: 215821-4)

Id	Struktur	Snittet	Såldet	Form	Mål i plan	Dybde	Funn	Datering
2123	Kokegrop	X	X	oval	1,01 m x 0,64 m	16 cm		254 – 303 / 314 – 386 e. Kr. (TRa-12905)
2178	Kokegrop	X	X	oval	0,67 m x 0,58 m	16 cm		
2254	Kokegrop	X	X	oval	0,97 m x 0,85 m	15 cm		
2283	Kokegrop	X		rund	0,44 m x 0,44 m	4 cm		383 – 351 / 301 – 209 f. Kr. (TRa-12903)
2301	Kokegrop	X	X	rund	0,55 m x 0,55 m	8 cm		244 – 339 e. Kr. (TRa-12904)
2534	Kokegrop	X		oval	0,82 m x 0,8 m	20 cm		
2594	Kokegrop	X		rund	0,69 m x 0,68 m	16 cm		
2607	Kokegrop	X		oval	0,67 m x 0,6 m	10 cm		
2620	Kokegrop	X		oval	0,64 m x 0,63 m	10 cm		
2638	Kokegrop	X	X	oval	0,92 m x 0,88 m	8 cm		415 – 560 e. Kr.*
3145	Kokegrop	X	X	rund	N/A x 0,65 m	20 cm		
3172	Kokegrop	X		rund	0,55 m x 0,55 m	22 cm		



**Figur 12. Profilbilde av kokegrop 2594 (uten målestokk). Sett mot nord. Foto: Kari Berg Dyrendal, NTNU Vitenskapsmuseet (Da62536\_091)**

Dateringsresultatene, som baserer seg på fire av de tolv undersøkte kokegropene (1/3), antyder at feltet kan dateres til yngre romertid–folkevandringstid. En av kokegropene ble riktignok datert til førromersk jernalder, noe som også indikerer tidligere aktivitet.

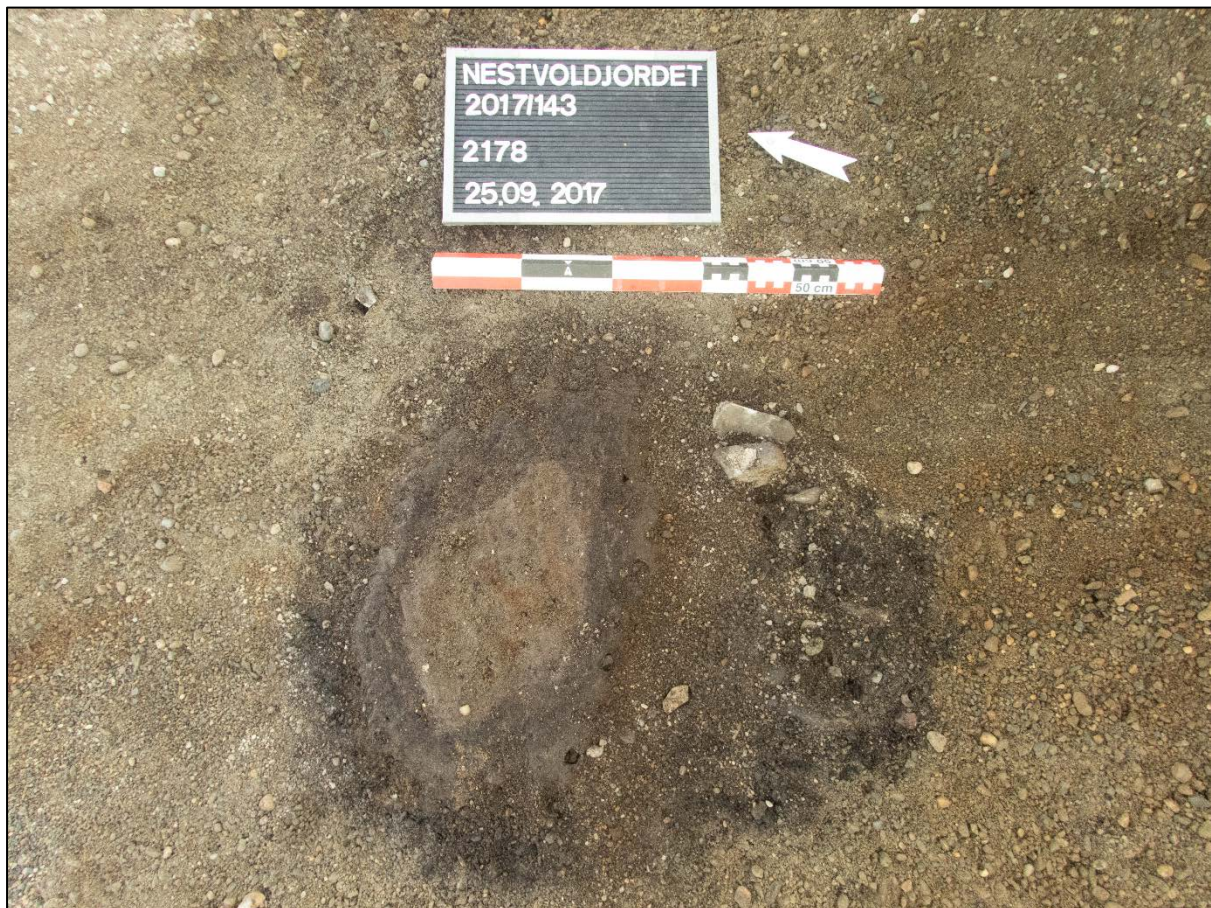
Det største tverrmålet til kokegropene på feltet er kun på 1,01 m, hos id 2123, som har en særlig utpreget oval form. Arealmessig er likevel id 2638 størst (figur 16). Gjennomsnittlig lengdemål for de elleve kokegropene som ble avdekt i sin helhet er 0,72 m, mens breddemålet er 0,65 m.



**Figur 13. Id 2283 ble tolket som en meget liten kokegrop. Diameteren ble målt til 0,44 m og dybden til kun 4 cm. Kokegropen ble datert til førromersk jernalder (383 - 351 / 301 - 209 f. Kr., TRa-12903). Sett mot øst. Da62536\_028. Foto: Frode Iversen, NTNU Vitenskapsmuseet**

**Figur 14. Rentegning av profilene til de undersøkte kokegropene på feltet**

Flere av kokegropene, og da særlig id 2283, 2301 og 3172, var bemerkelsesverdig små (jmfør tabell 4). Den minste hadde en diameter på kun 0,44 m, noe som er et godt stykke under normalstørrelsen for kulturminnekategorien (jf. f.eks. Gustafson, 2005). En mulig tolkning av id 2283 og id 2301 er at de kun representerer bunner av kokegroper med større planmål i toppen. Ettersom dybdemålene kun er på henholdsvis 4 cm og 8 cm, er en slik tolkning også sannsynlig. Imidlertid viser id 3172, som ble påvist under dyrkingslaget 2927, og har en bevart dybde på 22 cm at denne størrelsesordenen er representert på feltet på Nestvoldjordet. Dessverre gir hverken dateringsanalyser eller makroanalyser noen forklaring på fenomenet. Mens id 2283 ble datert til førromersk jernalder, ble id 2301 datert til yngre romertid. Dette viser at de ikke kan forankres i en spesifikk fase, og de kan dermed heller ikke knyttes til noen form for (fase)spesifikk aktivitet. Makroprøvene inneholdt kun trekull (Moltsen, 2018), jf. kap. 4.3.



Figur 15. En annen liten kokegrop (id 2178) innenfor den vestre delen av feltet. Merk de yngre, nedsunkne lagene innenfor den nordlige delen av strukturen: dyrkingslaget 2008 ligger i midten (latte-farget, diamantform), øverst stratigrafisk, og er omgitt av en rand med det fossile torvlaget (mørk lillabrun, oval form), som ligger stratigrafisk under dette. Tatt mot nordøst. Foto: Jo Sindre P. Eidshaug, NTNU Vitenskapsmuseet (Da62536\_039)

Hvorfor flere av kokegropene er så små er derfor noe vanskelig å forstå. Med slike dimensjoner er det ikke mulig å tilberede større måltider. Kokegroper tolkes gjerne som groper for nettopp tilberedning av mat, ofte i forbindelse med større anledninger. Ettersom kokegropene ligger samlet i et felt er det også nærliggende å se de i sammenheng med en gjentagende aktivitet. Begrepet «kokegrop» er imidlertid en samlekategori for et mangefasettert fenomen, og kokegroper kan således f.eks. tolkes i sammenheng med oppvarming (i hus), matlagning, konservering (tørking) og badstue (i telt), der den topografiske og kulturhistoriske *konteksten* må stå sentralt i fortolkningen (Gustafson, 2005: 105-106). Det er således mulig at kokegropfeltet kan sees i forbindelse med gravfeltet som Schöning beskriver på Nestvold. Imidlertid er gravfeltet hverken verifisert arkeologisk eller datert, noe som gjør at en slik tolkning ikke kan forbli annet enn en spekulasjon. Som det fremgår av de samlede resultatene fra utgravningen, fortsetter denne

lokaliteten mot nord, og kun fremtidige undersøkelser av dette området vil kunne yte en bedre kontekst for å forstå feltet.



Figur 16. Den største kokegropen på feltet, id 2638, målte i underkant av en meter i diameter. Den var kun 8 cm dyp, noe som skyldes at kun bunnen er bevart. Kokegropen ble datert til folkevandringstid (415 - 560 e. Kr.) av Nord-Trøndelag fylkeskommune. Tatt mot sørvest. Foto: Frode Iversen, NTNU Vitenskapsmuseet (Da62536\_079)

### 3.1.2. Avfallsgrop

Det ble påvist én mulig avfallsgrop på feltet. Denne skiller seg fra kokegropene i lagsammensetningen av fyllmasser og dimensjoner (se figur 17, figur 18 og tabell 5). Fyllet karakteriseres av en «striping» som indikerer gjentatte påfyllinger, noe som er forenelig med en gradvis oppfylling av gropen med avfall og påføring av minerogene masser for å dempe lukt. Dessuten savnes varmpåvirkede steiner og en markant kullrand i bunnen av gropen. Gropen er også betydelig dypere (40 cm) enn den dypeste kokegropen (22 cm), samtidig som den er en god del større i plan (1,22 m x 1,17 m) enn de største kokegropene, som har tverrmål på rundt eller i underkant av 1 m (id 2123, id 2254 og id 2638, jf. tabell 4).

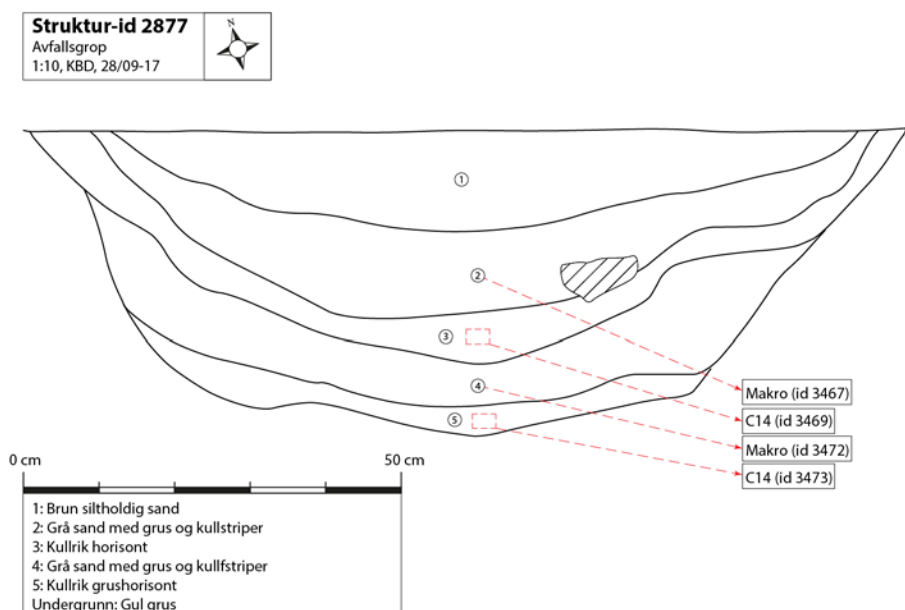
Tabell 5. Oversikt over avfallsgroper på feltet

Id	Struktur	Snittet	Såldet	Form	Mål i plan	Dybde	Funn	Datering
2877	Avfallsgrop	X	X	rund	1,22 m x 1,17 m	40 cm	T27773: 3-4	265 – 272 / 331 – 401 e. Kr. (TRa-12911) 770 – 884 e. Kr. (TRa-12908)



Figur 17. Profilbilde av den mulige avfallsgropen 2877. Sett mot nord. Foto: Kari Berg Dyrendal, NTNU Vitenskapsmuseet (Da62536\_099)

Funnmaterialet i avfallsgropen var sparsommelig (tabell 9). Kun 15 fragmenter av brent bein (1,02 g) ble funnet i lag 2 og lag 3 under gravingen. Analyserte makrofossilprøver fra lag 3 og 5 ga ingen funn utover skarpkantede trekull (Moltsen, 2018).



Figur 18. Rentegning av profilet til den mulige avfallsgropen

Analysen av C14-materiale fra gropen ga indikasjoner på to bruksfaser: gropen ble konstruert og opprinnelig benyttet i yngre romertid (TRa-12911), samtidig med kokegropfeltet. Deretter har den en sekundær bruksfase i merovingertid–vikingtid (TRa-12908). Resultatet er imidlertid noe problematisk, og flere tolkninger er mulige:

- 1) Det lange oppholdet er at gropen har sunket sammen i løpet av den lange oppholdsperioden på 4-500 år som følge av at organisk materiale i form av avfall har brutt ned, og at det som ble oppfattet som en «naturlig» grop i terrenget sekundært har blitt benyttet til avfallsdeponering. Alternativt kan den også ha blitt brukt som et ildsted (representert ved den daterte kullhorisonten til lag 3). Brent bein (avfall) har deretter blitt deponert i gropen relativt hurtig etter bruk
- 2) Lik 1), men mangelen på funn av avfall i den eldste fasen (lag 4 og 5) tolkes i retning av at gropen har en ukjent primærfunksjon
- 3) Den eldste dateringen representerer en forstyrrelse fra kokegropfeltet, slik som også det fossile dyrkingslaget 2008/2927 fra middelalder–nyere tid inneholder mye kull fra yngre romertid. Gropen bør derfor snarere dateres til sen merovingertid–vikingtid, og tolkes som en avfallsgrop som også ble gravd i denne perioden

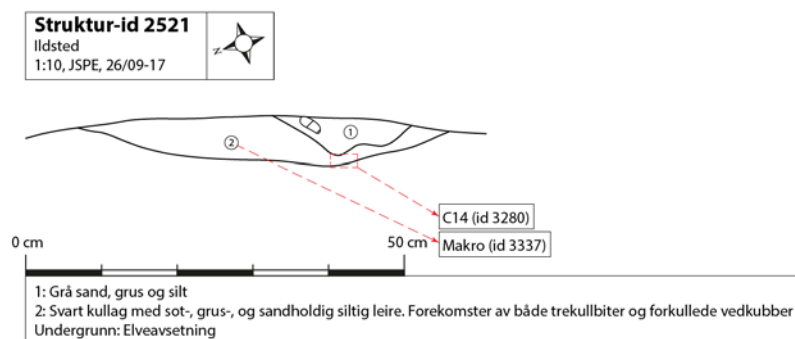
På bakgrunn av *fraværet* av avrundete slitasjepregede kullbiter i makroprøven som ble tatt ut fra lag 5 er det sannsynlig at primærfyllet har ligget beskyttet siden det ble brent (Moltsen, 2018, jf. kap. 4.3.), og tolkning 3 er derfor lite sannsynlig. På bakgrunn av det øvrige funnmaterialet er det imidlertid vanskelig å peke på hvilken av tolkning 1 og 2 som er mest sannsynlig. Siden den på et eller annet tidspunkt ser ut til å blitt benyttet til avfallsdeponering, er en tolkning som avfallsgrop uansett nærliggende.

### 3.1.3. Ildsted

Id 2521 ble tolket som et ildsted uten steinsetting. Mangelen på varmpåvirkede steiner gjorde en tolkning som en kokegrop mindre sannsynlig. Strukturen er også relativt grunn. En tolkning som en kokegropbunn, i likhet med id 2607, id 2620 og id 2638, synes mindre sannsynlig ettersom id 2521 ble påvist *under* torvlaget (id 2054) – noe som burde bety at toppen ikke er blitt avskåret. Alternativt kan toppen ha blitt avskåret under flateavdekkingen.

Tabell 6. Oversikt over ildsteder på feltet

Id	Struktur	Snittet	Såldet	Form	Mål i plan	Dybde	Funn	Datering
2521	Ildsted	X	X	rund	0,51 m x 0,5 m	6 cm		



Figur 19. Rentegning av profilet til ildstedet



Figur 20. Arbeidsbilde fra snittingen av ildstedet. I bunnen ble det funnet rester av forkullede vedkubber. Sett mot øst. Foto: Jo Sindre P. Eidshaug, NTNU Vitenskapsmuseet (Da62536\_057)

### 3.1.4. Øvrige strukturer

Tre andre strukturer uten sikker tolkning ble undersøkt og dokumentert på Nestvoldjordet. Id 2398 er særlig usikker og kan muligens avskrives, mens id 2470 virker noe mer troverdig som levninger etter menneskelig aktivitet. Den kan ha en sammenheng med id 2449 basert på at disse ligger tett inntil hverandre og hadde like fyllmasser, men undersøkelsen kunne ikke etablere dette.

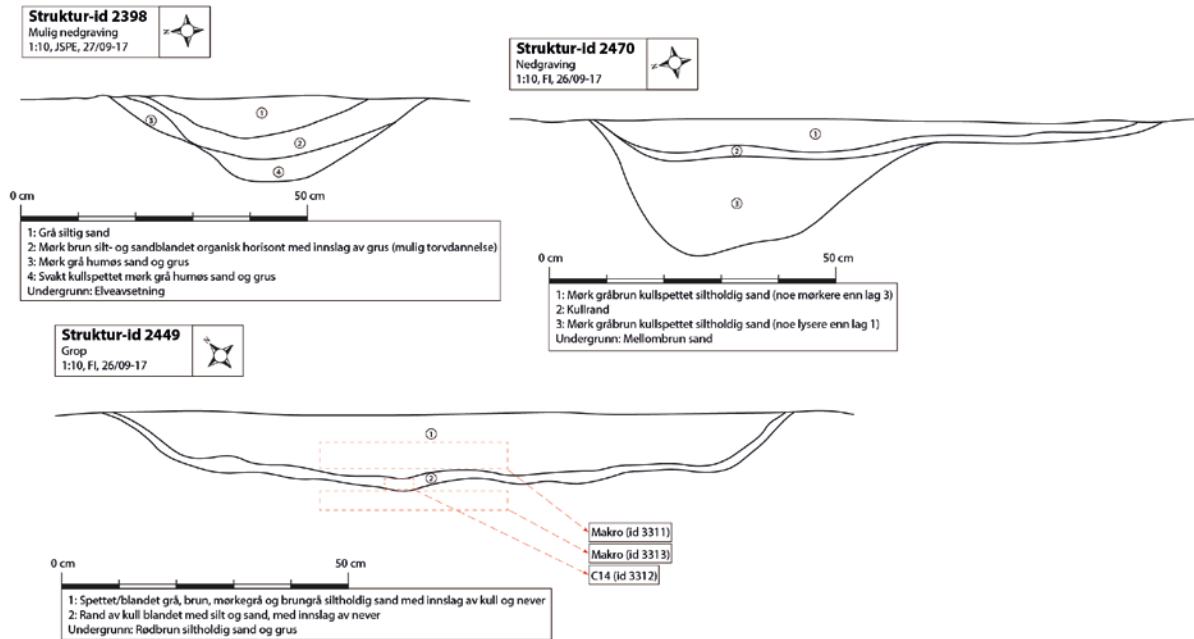
Tabell 7. Oversikt over øvrige strukturer på feltet

Id	Struktur	Snittet	Såldet	Form	Mål i plan	Dybde	Funn	Datering
2398	Mulig ned-gravning	X		oval	0,54 m x 0,43 m	14 cm		
2449	Grop	X	X	rund	1,18 m x 1,18 m	14 cm		263 – 275 / 329 – 395 e. Kr. (TRa-12906)
2470	Mulig ned-gravning	X	X	avlang	1,01 m x 0,43 m	24 cm		

Id 2449 er mest interessant av disse tre strukturene. I bunnen ble det påvist en tynn, men tydelig kullrand. Dette indikerer at strukturens funksjon kan knyttes opp til varmerelatert aktivitet. En tolkning som en kokegrop synes usannsynlig basert på mangelen av varmpåvirkede steiner, samt at dimensjonene er en del større (ca. 0,2 m i diameter) enn hos kokegropene. En mulig årsak til mangelen av varmpåvirkede steiner kan naturligvis være at disse har blitt plukket ut og gjenbrukt. Det ble heller ikke gjort andre funn (gjenstander eller konstruksjonselementer) i noen av fyllene i gropen som kunne gi en pekepinn på gropens funksjon. Fyllmassene over kullranden er trolig sekundært deponerte, og kan derfor representere levningene etter gjenfylling av gropen etter at den har blitt tatt ut av bruk. Om disse massene har blitt tatt fra stedet like ved gropen, kan de likevel



inneholde spor som indikerer gropens funksjon. Dessverre ble det hverken gjort gjenstandsfunn under gravingen eller andre funn en trekullbiter i makrofossilprøven (id 3311) (Moltsen, 2018).



Figur 21. Rentegning av grop 2449 og mulige nedgravninger



Figur 22, venstre. Grop 2449 i plan, med nedgraving 2470 i bakkant. Likhetene i fyllmassen kan tyde på at de har en sammenheng, men det kunne ikke verifiseres gjennom undersøkelsen av det som var bevart av strukturene i undergrunnen. Sett mot nordøst. Foto: Frode Iversen, NTNU Vitenskapsmuseet (Da62536\_052)

Figur 23, høyre. Profilert til grop 2449 viser en tydelig kullrand i bunnen, noe som peker mot varmerelatert aktivitet. Fyllmassen over er sekundærdeponert. Sett mot nordøst. Foto: Frode Iversen, NTNU Vitenskapsmuseet (Da\_62536\_053)

### 3.1.5. Fossile lag

Innenfor den vestre delen av feltet ble det påvist to nivåer med fossile lag under matjorden (id 3483), over steril grunn. Id 2008 og id 2927 er tolket som deler av det samme laget, og er tolket som levninger etter menneskelig aktivitet i form av fossile dyrkingslag. Id 2054 er tolket som en naturdannelse, som fossil torv, men står sentralt i tolkningen av feltets stratigrafi og kronologi.

Lagene ligger i et søkk, dvs. den østre delen av feltet er noe lavere enn den vestre delen, og det går et tydelig skille mellom øst og vest over feltet nettopp ved den østre avgrensingen til torvlaget med id 2054. Grunnen til at begge lagene er bevart, skyldes trolig denne nivåforskjellen til undergrunnen – ettersom den ikke gjenspeiles i dagens markoverflate (toppen av matjorden).

Tabell 8. Oversikt over fossile lag som ble undersøkt. \*) Lagene 2008 og 2927 ligger stratigrafisk over 2054, og er derfor yngre enn ca. 1200 e. Kr. Prøvene TRa-12907 og TRa-12909 inneholder trolig materiale som under pløying har blitt dratt opp av kokegropene fra kokegropfeltet som dateres til yngre romertid-folkevandringstid. Kullet i TRa-12902 representerer trolig også kontaminasjon av konteksten som følge av pløyeaktivitet, da resultatet fra TRa-12910 viser at den eldre markoverflaten (representert ved det fossile torvlaget) minst må ha ligget eksponert til 1200-tallet

Id	Lag	Undersøkelsesmetode	Metall-søkt	Såldet	Dybde	Funn	Datering
2008	Fossilt dyrkingslag	maskinelt	X		35 cm	2033, 2681, 3395	388 – 432 / 491 – 530 e. Kr. (TRa-12909) *
2054	Fossil torvflate	maskinelt	X		5 cm	T27773:1	395 – 434 / 489 – 533 e. Kr. (TRa-12902) * 1056 – 1076 / 1153 – 1225 / 1235 – 1242 e. Kr. (TRa-12910)
2927	Fossilt dyrkingslag	håndgravd	X		20 cm	T27773:2	425 – 537 e. Kr. (TRa-12907) *

Begge lag ligger delvis nedsunken i midten av flere av kokegropene innenfor denne delen av feltet (se figur 15). Lagene er dermed stratigrafisk yngre enn strukturene innenfor den østre delen av feltet, og basert på en kontekstuell vurdering, bør de også tolkes som yngre enn alle strukturer i undergrunnen.



Figur 24. Avdekking av fossilt dyrkingslag under matjorda i vestenden av feltet. Sett mot vest. Foto: Kari Berg Dyrendal, NTNU Vitenskapsmuseet (Da62536\_007)

Det øverste fossile laget består av humøs sandjord med spredte, små fragmenter av trekull. Laget blir gradvis mørkere mot bunnen, fra mellombrunt til mørkegrått, noe som trolig skyldes utvasking.

Id 2927 ble undersøkt manuelt, ettersom denne lå innenfor et begrenset område med lagavsetninger som potensielt kunne tolkes som kulturlag. Undersøkelsen viste som nevnt at de fleste lagene kunne avskrives som naturlige, mens id 2927 hadde et såpass høyt kullinnhold at det tolkes som et dyrkingslag. Id 2927 bør derfor tolkes som det *samme* som id 2008, men holdes adskilt med en egen id pga. forskjellene i undersøkelsesgrad og utgravingsmetode. C14-prøvene av dyrkingslaget ga dateringsresultater til folkevandringstid, men stratigrafiske forhold tilsier at laget beviselig er *yngrer* enn den fossile torven. Laget må derfor trolig dateres til middelalder–nyere tid. Antakeligvis kan ploegen ha dratt med seg kull fra kokegropene i feltet fra yngre romertid-folkevandringstid og blandet dette inn i dyrkingslaget.



Figur 25. Ortomosaikk av profilet til den nordre feltgrensen (omtrent like nord for kokegropene 3145 og 2607, jf. figur 8). Skillet mellom matjorden og det fossile dyrkingslaget 2927 er tydeligst i den høyre delen av profilet, der plogfurene i toppen av dyrkingslaget danner et bølgende lagskille. Den mørke stripen i bunnen til venstre er det fossile torvlaget 2054. Skillet mellom matjord og det fossile dyrkingslag (id 2008/2927) var for øvrig relativt vagt (til venstre, der dyrkingslaget er lysere enn til høyre, synes ikke lagskillet på ortomosaikken), samtidig som dyrkingslaget generelt sett ble *gradvis* mørkere mot bunnen. Sett mot nord. Illustrasjon: Jo Sindre P. Eidshaug, NTNU Vitenskapsmuseet (Da62536\_107)



Figur 26. De mørke lillabrune flekkene er restene (bunnen) av det fossile torvlaget som lå innenfor den vestre delen av feltet. Den bleke fargen til sanden og grusen i undergrunnen skyldes utvasking. Fra avdekkingen. Sett mot nord. Foto: Jo Sindre P. Eidshaug, NTNU Vitenskapsmuseet (Da62536\_013)

Den nederste fossile laget over undergrunnen tolkes som en fossil torvflate. Laget beskrives som mørk, lillabrun organisk/humusholdig silt med noe opptak av sand, grus og kull, som trolig kan tolkes som fossil torvjord. Kullfragmentene og funnet av et bryne (T27773:1) *kan* representere forurensning fra dyrkingslaget, som altså allerede inneholder mye forurensning i form av kull datert

til folkevandringstid (se ovenfor og tabell 8). Det er mulig at toppen av den fossile torvjorden har blitt avskåret av dyrkingen (id 2008), men flaten må uansett på ett tidspunkt ha representert en markoverflate, formodentlig etter at området ikke lenger ble tatt i bruk som et kokegropfelt. Brynefunnet, som kan representere en tapt gjenstand, gjør likevel at laget tolkes som arkeologisk (meget sporadisk bruk).

Den yngste dateringen av det fossile torvlaget stammer fra høymiddelalderen, noe som tilsier at denne markoverflaten *minst* må ha ligget eksponert frem til 1200-tallet e. Kr. Om også denne prøven representerer en kontaminasjon fra det fossile dyrkingslaget er usikkert – men det vil likevel ikke kunne gi en eldre datering av dyrkingslaget. Om den eldste dateringen til folkevandringstid er korrekt, finner vi en 7-800 lang periode med brakklegging. Som nevnt ovenfor, er det høy sannsynlighet for kontaminasjon av kontekstene.



Figur 27. Kari undersøker noen av de potensielle kulturlagene i nordenden av feltet som senere ble avskrevet som naturdannelser, dvs. som deler av den fossile torvoverflaten som dekker hele den vestre delen av feltet (jf. figur 25). Sett mot nord-nordøst. Foto: Jo Sindre P. Eidshaug, NTNU Vitenskapsmuseet (Da62536\_033)

### 3.1.6. Avskrevne strukturer

41 potensielle strukturer eller lag ble målt inn og tildelt id-nummer, men avskrevet som arkeologiske levninger etter nærmere undersøkelse.

Den store majoriteten av de avskrevne strukturene kunne tolkes som linser med torvjord (dvs. rester av id 2054) som lå igjen i små forsenkninger i den løse elvesanden (jf. figur 27).

Omtrent på midten av feltet, inntil den nordre feltgrensen, ble det satt igjen en lagsekvens for en nærmere undersøkelse (figur 26). Enkelte av disse lagene hadde en organisk karakter som kunne antyde at de var kulturlag, og det ble avsatt noe ekstra tid til en manuell undersøkelse. Den organiske karakteren synes imidlertid å kunne tolkes som en kombinasjon av naturdannelser og

bevaringsforhold. De organiske lagene synes å inngå i torvjorddannelsen innenfor den vestlige delen av feltet (id 2054), som ligger bevart som et fossilt lag under dyrkingslaget (id 2008 og 2927) og matjorden fordi de ligger i et søkk. De undersøkte lagene, foruten id 2927, ligger nettopp like vest for knekken i feltet, innenfor søkket. Det ble heller ikke gjort noen gjenstandsfunn i lagene, og de spredte kullfragmentene bør trolig tolkes som forurensning fra overliggende dyrkingslag eller som dratt ut fra kokegropene i området. For å behjelpe tolkningen ble det også analysert en kullprøve og en makroprøve fra et av de undersøkte lagene i torvsekvensen, men funnene skiller seg ikke i nevneverdig grad fra de øvrige resultatene fra feltet. Kullprøven



**Figur 28. Profilet til en av de største avskrevne strukturene. De mørke stripene er den fossile torvjorden 2054, mens laget i toppen er en rest av dyrkingslaget 2008. Sett mot nord. Foto: Jo Sindre P. Eidshaug, NTNU Vitenskapsmuseet (Da62536\_030)**

(TRa-12902, jf. kap. 4.2.) ble datert til folkevandringstid, og er dermed samtidig med f.eks. den nærliggende kokegropen 2638, der kun bunnen av strukturen var bevart (altså har ploegen kuttet av toppen). Makroprøven (3016, jf. kap. 4.3.) inneholdt dessuten kun trekull, både skarpkantede og avrundete – noe som også kan tyde på at kull har blitt dratt ut av kokegropene med ploegen. Det negative beviset, fraværet av nedbrutte komponenter som brente leire, brente bein og keramikk, tyder dessuten på at laget ikke bør tolkes som et kulturlag (Moltsen, 2018: 4).

## 4.0. Funnmateriale

Gjenstandsmaterialet fra Nestvoldjordet var sparsommelig, og basert på tolkningen av de stratigrafiske forholdene stammer ingen av funnene fra eldre jernalder, men snarere fra yngre kontekster som tilskrives fase 3 og 4. Materialet presenteres i kap. 4.1., jf. også vedlegg 4, 5 og 6.

Basert på de 11 innsendte C14-prøvene og stratigrafiske data er det mulig å tolke de arkeologiske sporene innenfor fire brede faser (fase 0 representerer en ren naturfase):

- Fase 0: Mellomneolittikum – ?
- Fase 1: Førromersk jernalder
- Fase 2: Yngre romertid – folkevandringstid
- Fase 3: Yngre jernalder – middelalder
- Fase 4: Middelalder – nyere tid

Dateringene presenteres i kap. 4.2.

De 8 analyserte makrofossilprøvene inneholdt dessverre kun trekull. Disse er omtalt i kap. 4.3.

### 4.1. Gjenstandsfunn

Funnmaterialet fra Nestvoldjordet var sparsomt og inkluderer kun 15 fragmenter av brent bein (1,02 g) fra en kontekst som dateres til merovingertid-vikingtid i avfallsgropen (kap. 3.1.2.), et bryne fra den fossile markoverflaten som har et dateringsspenn fra folkevandringstid – middelalder (?), og en nagle, en slagglump og tre fragmenter av to ubestemte gjenstander i jern fra det fossile dyrkingslaget fra middelalder – nyere tid.

**Tabell 9. Oversikt over innsamlede gjenstandsfunn fra Nestvoldjordet, se også vedlegg 4 og 5. Se vedlegg 6 for røntgenfoto av jerngjenstandene**

T-nummer	Funn-id	Gjenstand	Form	Ant.	Ant. frag.	Matr.	Vekt	Kontekst	Lag
-	2033	Fragment		1		jern		2008	
-	2033	Slagg		1		slagg		2008	
-	2681	Ubestemt		1	2	jern		2008	
-	3395	Nagle		1		jern		2008	
<b>T:27773:1</b>	2082	Bryne	hein	1		skifer		2054	
<b>T:27773:2</b>	4003	Osteologisk	brent animal-osteologisk	2		bein	0,07 g	2877	2
<b>T:27773:3</b>	4002	Osteologisk	brent animal-osteologisk	11		bein	0,30 g	2877	2-3
<b>T:27773:4</b>	4001	Osteologisk	brent animal-osteologisk	2		bein	0,65 g	2927	

### 4.2. Dateringer

Av de 26 innsamlede C14-prøvene fra Nestvoldjordet, ble 11 radiologisk datert (tabell 10, vedlegg 10). Dateringene av de arkeologiske levningene spenner fra førromersk jernalder til vikingtid. I tillegg foreligger en datering til mellomneolittikum av markoverflaten *under* elveavsetningen som strukturene kutter, samt en datering til middelalder av markoverflaten *over* strukturene, men *under* dyrkingslagene.

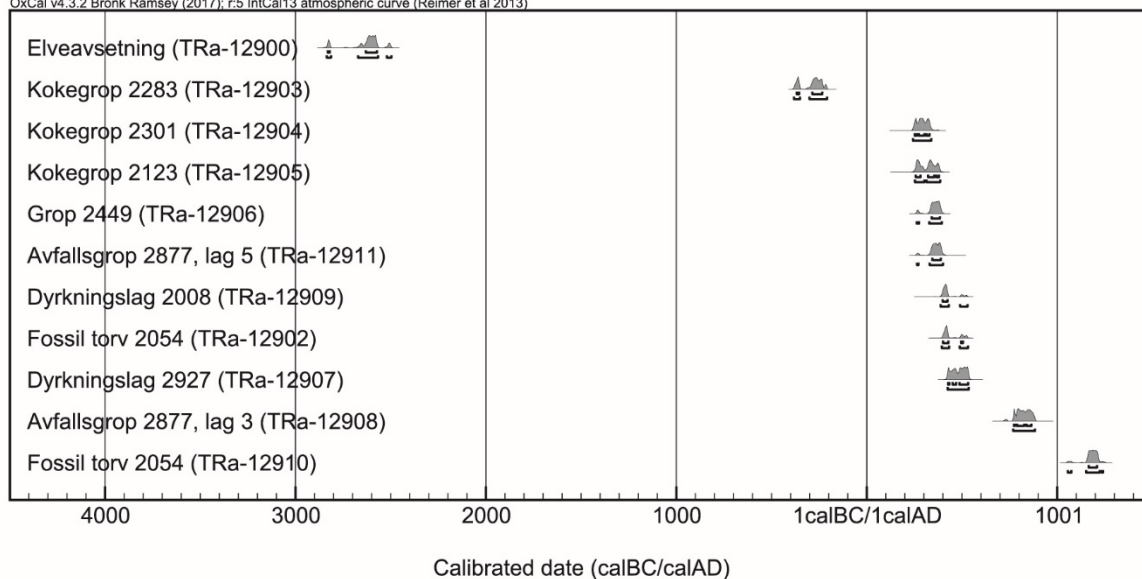
Dateringene viser at kokegropene på feltet kan dateres til eldre jernalder, der hovedvekten ligger på perioden yngre romertid – folkevandringstid. Også den eldste fasen til avfallsgropen (id 2877) og den andre daterte gropen (id 2449) ble datert til den samme perioden. Basert på at det eldste stratigrafiske laget (id 2054) har en datering til middelalder, må det fossile dyrkingslaget (id 2008 og id 2927), som altså ligger over dette, være yngre enn det fossile torvlaget, altså yngre enn gjengroingsfasen.

TRa-12902 ble tatt ut fra en av kulturlagene som ble avskrevet og tolket som en del av torvflaten 2054. Kontekst-id har derfor blitt endret til 2054. TRa-12909 har fått endret kontekst fra 2034 til 2008 ettersom disse ble tolket som samme lag.

**Tabell 10. Oversikt over innsendte og analyserte C14-prøver fra Nestvoldjordet. \*) Opprinnelig kontekst 2969 er slått sammen med 2054. \*\*) Opprinnelig kontekst 2034 er slått sammen med 2008**

Kontekst (id)	Kontekst	Lag	Prøve (id)	Lab. ref.	Treart	14C-alder	Kalibrert alder (2 $\sigma$ )
2088	Markoverflate under elveavsetning		2092	TRa-12900	or	4074 $\pm$ 20	2837 – 2815 / 2672 – 2567 / 2521 – 2498 f. Kr.
2054*			3021	TRa-12901	<i>Ikke analysert – reserveprøve</i>		
2054*	Fossil torv (eldre markoverflate)		3022	TRa-12902	selje/vier/pil	1617 $\pm$ 13	395 – 434 / 489 – 533 e. Kr.
2283	Kokegrop	1	3035	TRa-12903	or, selje/vier/pil	2241 $\pm$ 15	383 – 351 / 301 – 209 f. Kr.
2301	Kokegrop	2	3108	TRa-12904	bjørk, or	1745 $\pm$ 14	244 – 339 e. Kr.
2123	Kokegrop	4	3126	TRa-12905	or, bjørk	1720 $\pm$ 19	254 – 303 / 314 – 386 e. Kr.
2449	Grop	2	3312	TRa-12906	or	1695 $\pm$ 14	263 – 275 / 329 – 395 e. Kr.
2927	Fossilt dyrkningslag		3466	TRa-12907	or, selje/vier/pil	1579 $\pm$ 14	425 – 537 e. Kr.
2877	Avfallsgrop	3	3469	TRa-12908	bjørk, selje/vier/pil	1205 $\pm$ 16	770 – 884 e. Kr.
2008**	Fossilt dyrkningslag		3470	TRa-12909	bark, or, selje/vier/pil, bjørk	1626 $\pm$ 15	388 – 432 / 491 – 530 e. Kr.
2054	Fossil torv (eldre markoverflate)		3471	TRa-12910	bjørk	860 $\pm$ 21	1056 – 1076 / 1153 – 1225 / 1235 – 1242 e. Kr.
2877	Avfallsgrop	5	3473	TRa-12911	bjørk	1687 $\pm$ 15	265 – 272 / 331 – 401 e. Kr.

OxCal v4.3.2 Bronk Ramsey (2017); r:5 IntCal13 atmospheric curve (Reimer et al 2013)

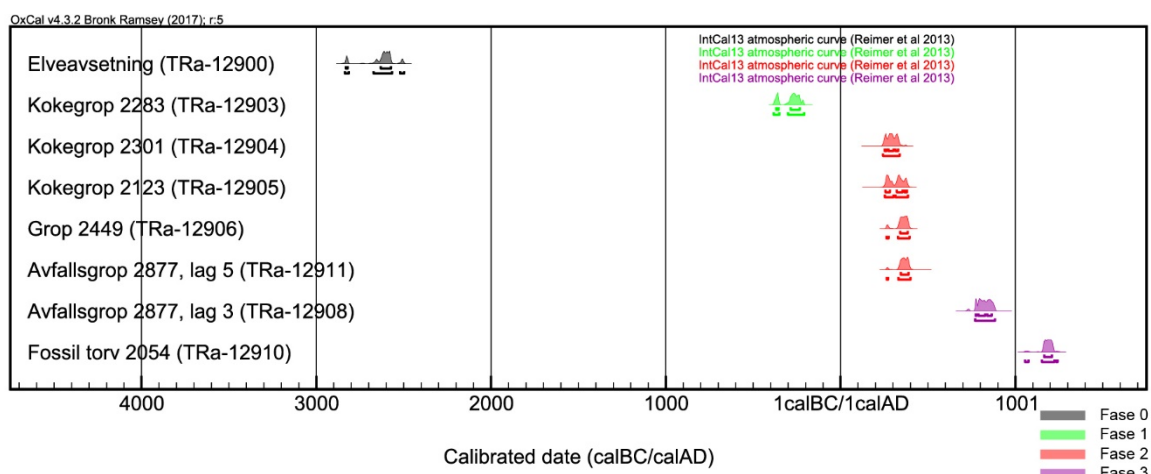


**Figur 29. OxCal-diagram som viser den kronologiske fordelingen til dateringene fra Nestvoldjordet**

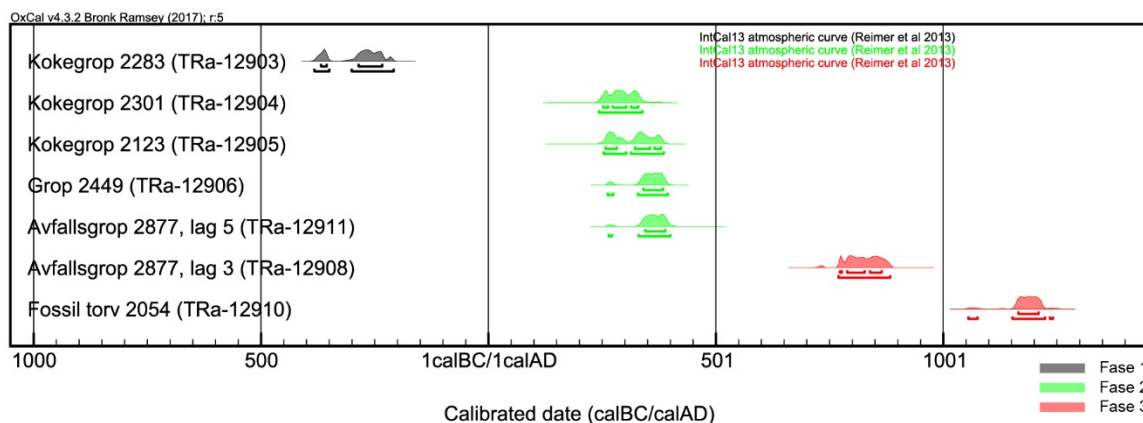
C14-dateringene og stratigrafiske forhold fordeler dataene på fem faser (jf. særlig 3.1.5.). De arkeologiske sporene fordeler seg på fire av disse fasene (fase 1 – 4), se tabell 11.

**Tabell 11. Foreløpig faseinndeling på Nestvoldjordet basert på utgravningsresultatene fra høsten 2017**

Fase	Periode	Tolkning	Dateringsgrunnlag
Fase 0	Mellomneolittikum - ?	Landheving og elveavsetning	C14, strandlinje
Fase 1	Førromersk jernalder	Kokegroper	C14
Fase 2	Yngre romertid – folkevandringstid	Kokegropfelt	C14
Fase 3	Yngre jernalder – middelalder	Brakklegging, gjengroing, sporadisk bruk	C14, stratigrafisk
Fase 4	Middelalder – nyere tid	Dyrket mark	Stratigrafisk



**Figur 30. OxCal-diagram over dateringene fra Nestvoldjordet fordelt på fase 0 – 3, der fasene 1 – 3 representerer arkeologiske faser**



**Figur 31. OxCal-diagram som viser dateringene fra Nestvoldjordet fordelt på de arkeologiske fasene 1 – 3**

### 4.3. Makrofossiler

Av de 16 innsamlede makrofossilprøvene fra Nestvoldjordet, ble 8 analysert (tabell 12, vedlegg 11). Resultatet foreligger i NOK-rapport nr.29-2018 (Moltsen, 2018). Dessverre ble det kun gjort funn av trekull i det innsendte materialet, noe som i liten grad kan bistå analysen av de spesifikke kontekstene eller feltet som helhet.



Tabell 12. Resultater fra analysen av makrofossiler på Nestvoldjordet. Etter Moltsen (2018). \*) Opprinnelig kontekst 2969 er slått sammen med 2054

Kontekst (id)	Kontekst	Lag	Prøve (id)	Volum (ml)	Innhold (komponenter)	Slitasjegrad
2054*	Fossil torv		3016	50	kull	skarpkantede + avrundete
2449	Grop	1	3311	5	kull	skarpkantede + avrundete
2283	Kokegrop	1	3333	25	kull	skarpkantede + lett avrundete
2301	Kokegrop	2	3334	900	kull	skarpkantede
2123	Kokegrop	4	3336	295	kull	skarpkantede
2927	Fossilt dyrkingslag		3465	55	kull	skarpkantede + avrundete
2877	Avfallsgrop	2	3467	35	kull	skarpkantede
2877	Avfallsgrop	4	3472	120	kull	skarpkantede

Slitegraden til trekullet – om det er avrundet eller skarpkantet – er dermed det eneste som kan fortelle oss noe om kontekstene:

Da forkullet materiale er meget porøst vil det hurtigt blive slidt og afrundet når det udsættes for mekanisk slid, f.eks. hvis det har ligget på en eksponeret flade, eller i agerjord der har været bearbejdet utallige gange. Skarpkantede trækul har derimod ligget beskyttet siden afbrændingen (Moltsen, 2018: 3)

Når det dermed kommer til *strukturer*, vil slitegraden på kullet potensielt kunne fortelle oss om noe om *akkumulasjonen* til fyllmassene: om fyllet har akkumulert *hurtig in situ* (skarpkantede) eller om det har akkumulert *sakte in situ* eller evt. er redeponert (avrundete kan også forekomme). Som det fremkommer av tabellen, ble det hovedsakelig påvist skarpkantede kullbiter i strukturene, foruten grop 2449 og kokegrop 2283.

Når det gjelder grop 2449 ble makrofossilprøven tatt ut fra masser som i felt ble tolket som *redeponerte*, dvs. et sekundært fyll som potensielt kunne fortelle noe hva groppen har blitt benyttet til. I NOK-rapporten oppgis det at funnene tyder på at groppen må ha stått åpen en stund (Moltsen, 2018: 5). Tolkningen er imidlertid basert på en oppfattelse av at prøven ble tatt ut fra lag 2 (kullranden/primærfyllet), noe som skyldes at prøvekonteksten ikke ble tilstrekkelig redegjort for i vedleggsdokumentet til de innsendte prøvene. Prøven ble tatt ut fra lag 1 (sekundært redeponert fyll) og ikke lag 2 (primærfyll), jf. figur 21. Når vi legger de riktige forutsetningene til grunn, når vi omtrent den samme konklusjonen som tidligere: lag 1 er et sekundærfyll som består av redeponerte masser. Vi kan derimot ikke fastslå om massene har blitt redeponert like etter at groppen var i bruk eller senere (mao. vi kan ikke fastslå om groppen har stått åpen).

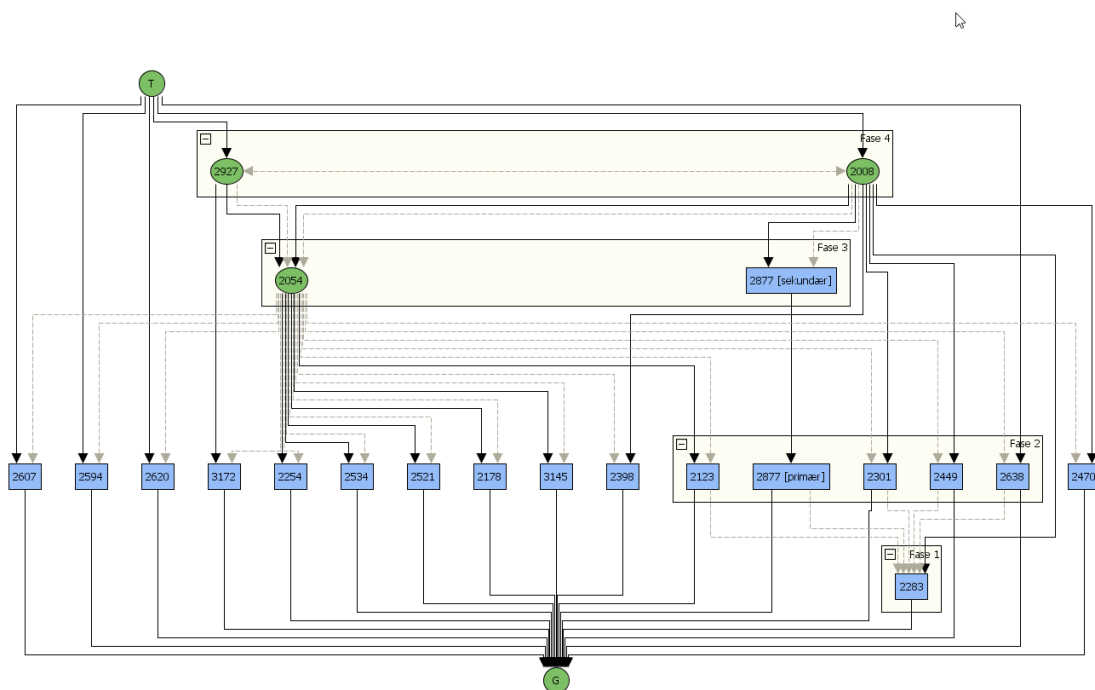
Forekomsten av avrundete kullbiter i kokegrop 2283 skyldes trolig at en hel halvdel av groppen ble innsendt til analyse. Denne inneholdt både rester etter den opphavelige brenningen i kokegropen og sekundærmasser.

## 5.0. Resultater

Problemstillingene som lå til grunn for utgravningen på Nestvold høsten 2017 ble knyttet til en overordnet undersøkelse av gårdsbosetting i Verdal fra folkevandringstid, med hovedfokus på byggeskikk. Problemstillingene var imidlertid utarbeidet på bakgrunn av tolkningen av strukturene som ble registrert under forundersøkelsen i 2015 som stolpehull knyttet til en huskonstruksjon. Vår undersøkelse har avkreftet tolkningen av levningene som stolpehull, og feltet ble omtolket til et kokegropfelt. Undersøkelsen kan derfor ikke bidra til å svare på de spesifikke problemstillingene som ble utviklet i prosjektplanen, men ved senere undersøkelser inngå i en mer helhetlig forståelse av gårdsbosettingen og bruken av landskapet i Verdal, særlig i perioden yngre romertid – folkevandringstid.

Funnene på Nestvoldjordet kan deles inn i fem brede faser, der arkeologiske spor ble påvist innenfor de fire yngste med bakre datering til førromersk jernalder.

- Fase 0: Mellomneolittikum – ?
- Fase 1: Førromersk jernalder
- Fase 2: Yngre romertid – folkevandringstid
- Fase 3: Yngre jernalder – middelalder
- Fase 4: Middelalder – nyere tid



**Figur 32. Full matrise fra Nestvoldjordet. Kontekstene uten sikker fasetilknytning tilhører enten fase 1 (førromersk jernalder) eller fase 2 (yngre romertid – folkevandringstid)**

### *Fase 0 (mellomneolittikum – ?): Landheving og elveavsetning*

De eldste sporene på Nestvoldjordet stammer fra strandkanten under elveavsetningen som danner den «sterile» undergrunnen som strukturene tilknyttet de øvrige fasene kutter. En prøve av tre av slaget or ble datert til 2800 – 2500 f. Kr., noe som jamført med strandlinjekurven for Verdalsøra (se kap. 1.1.) antyder at vi har nådd nivået for da området steg opp av havet, og bunnen av elveavsetningene. På punktet der elveavsetningene ble undersøkt måler de ca. 1,7 m i tykkelse.

I fase 0 ble det ikke påvist arkeologiske spor.

#### *Fase 1, førromersk jernalder: Kokegroper*

I fase 1 ble de første sporene etter menneskelig aktivitet påvist innenfor feltet på Nestvoldjordet. Kun en kokegrop er datert til førromersk jernalder (ca. 500 f. Kr. – 0), men på bakgrunn av at kun 1/3 av kokegroperne på feltet er datert er det mulig at flere stammer fra denne perioden.

#### *Fase 2, yngre romertid – folkevandringstid: Kokegropfelt*

De fleste dateringene fra feltet stammer fra yngre romertid – folkevandringstid (ca. 150 – 575 e. Kr.), og basert på at tre av de fire daterte kokegroperne er fra denne perioden, er det nærliggende å tro at det samme gjelder for de fleste kokegroperne. Det forekommer også dateringer av en grop med ukjent funksjon (som kan være en kokegrop som er tømt for skjørbrent stein) fra den samme perioden, og det samme gjelder også sannsynligvis den eldste fasen til avfallsgropen (som kan opprinnelig ha hatt en annen funksjon). De øvrige dateringene til denne perioden stammer fra langt yngre kontekster og kullmaterialet som er tatt opp i disse lagene må anses som «bakgrunnsstøy» fra aktiviteten som forekom i fase 2.

Siden langt på vei de fleste av strukturene fra denne fasen er kokegroper må vi tolke bruken av området i fase 2 som et kokegropfelt. Fase 2 er dessuten hovedfasen til lokaliteten på Nestvoldjordet.

Ettersom vi ikke har noen sikker funksjon på de to øvrige strukturene fra perioden, og vi dessuten foreløpig ikke kjenner til noen sikre samtidige kulturminner, er det vanskelig å tolke kokegropfeltet inn i en større kulturhistorisk kontekst. Utgravningsområdet ser dessuten kun ut til å representere utkanten av en større lokalitet som særlig brer seg nordover, og framtidige undersøkelser vil kunne gi feltet en større mening – f.eks. om det ligger i en gårdskontekst eller i nærheten av et gravfelt.

#### *Fase 3, yngre jernalder – middelalder: Brakklegging, gjengroing og sporadisk bruk*

Kokegropfeltet har trolig blitt forlatt i løpet av folkevandringstid, og innenfor den vestre delen av feltet lå et omtrent 5 cm tykt torvlag igjen over både undergrunnen og kokegroperne fra yngre romertid (kokegropen som ble datert til folkevandringstid lå lenger øst). I løpet av yngre jernalder og minst frem til høymiddelalderen har feltet trolig grodd igjen. Det eneste sporet etter menneskelig aktivitet finner vi i gjenbruken av avfallsgropen, der det også ble funnet spor etter deponering av brente bein.

#### *Fase 4, middelalder – nyere tid: Dyrket mark*

Trolig i løpet av middelalderen (etter ca. 1200 e. Kr.) blir feltet oppdyrket, og et tykt fossilt sandjordslag lå bevart over den fossile torven og flere av de øvrige strukturene, under det moderne matjordlaget. Laget har tatt opp noe kull som ble datert til folkevandringstid, men dette tolkes som forstyrrelser ettersom laget er yngre enn gjengroingsfasen.

## Litteraturliste

- Askeladden. Hentet fra <https://askeladden.ra.no/>. Sist besøkt
- Ertsås, O. (1970). Nestvold store g.nr. 16 br.nr. -, Stiklestad s. Verdals k & p. N.Trøndelag. Upublisert registreringsrapport. Hentet fra topark (ref. 008682).
- Grimbe, J. (2015). Arkeologisk rapport [Ort: Nestvold øst, Kommun: Verdals, gnr/bnr: 16/1, Årendenummer: 15/00372]. Upublisert arkeologisk rapport. Nord-Trøndelag fylkeskommune, Steinkjer.
- Gustafson, L. (2005). Om kokegroper i Norge. I L. Gustafson, T. Heibreen, & J. Martens (red.), *De gåtefulle kokegroper*. Varia 58, s. 103-133. Oslo: Kulturhistorisk museum, fornminneseksjonen.
- Løken, T., Pilø, & Hemdorff. (1996). *Maskinell flateavdekking og utgravning av forhistoriske jordbruksplasser - en metodisk innføring*. AmS-Varia 26. Stavanger: Arkeologisk museum i Stavanger.
- Moltsen, A. S. A. (2018). Makrofossilanalyser fra Nestvoldjordet. Nestvold 16/1, Verdals kommune, Trøndelag. NOK-rapport nr. 29-2018. Natur og kultur, København.
- Rygh, K. (1879). Faste fornlevninger og oldsagsfund i nordre Thronhjems amt. *DKNVS Skrifter, 1878*, 53-176.
- Rygh, O. (1903). *Norske Gaardnavne. Oplysninger samlede til brug ved Matrikelens Revisjon. Nordre Trondhjems amt.* (Vol. 15). Kristiania: W. C. Fabritus & Sønner.
- Schöning, G. (1979[1778]). *Reise som giennem en Deel af Norge i de Aar 1773, 1774, 1775 paa Hans Majestetets Kongens Bekostning er gjort og beskrevet af Gerhard Schöning*. In Vol. II. Retrieved from [http://urn.nb.no/URN:NBN:no-nb\\_digibok\\_2013070406022](http://urn.nb.no/URN:NBN:no-nb_digibok_2013070406022)
- Sveian, H., & Olsen, L. (1984). En strandforskyvningskurve fra Verdalsøra, Nord-Trøndelag. *Norsk Geologisk Tidsskrift, 64*, 27-38.
- Svendsen, J. I., & Mangerud, J. (1987). Late Weichselian and Holocene sea-level history for a cross-section of western Norway. *Journal of Quaternary Science, 2*, 113132.



## Vedlegg 1: Utgravningsstatistikk

<b>ID</b>	<b>215821</b>					
<b>Størrelse</b>	<b>1820 m<sup>2</sup></b>					
	<b>Budsjett</b>			<b>Resultat</b>		
<b>Avdekking</b>	Planlagt avdekt areal	950	m <sup>2</sup>	852	m <sup>2</sup>	
	Avdekking per dag	300	m <sup>2</sup>	426	m <sup>2</sup>	
	Timer avdekking maskin	24		15		
	Timer følge maskin	71		45		
<b>Undersøke anleggsspor</b>	Estimert tetthet fra registrering	0,035		0,023 (0,072)		inkl. avskrevne i parentes
	Estimert antall funn	33		20 (61)		inkl. avskrevne i parentes
	Dokumentert per dag	3		2,67 (8,13)		inkl. avskrevne i parentes
	Estimert timer dokumentasjon anleggsspor 75%	62		129		Timer dokumentasjon anleggsspor 100%

Reising/rigging (36 t) og div. oppfølging av fra feltleder (15 t) inngår ikke i tabellen.

## Vedlegg 2: Fotoliste

Filnavn	Motiv	Kontekst-id	Sett mot	Fotograf	Opptaksdato
Da62536_001.TIF	Oversiktsbilde av planområdet innen oppstart med maskin		sør	KBD	18.09.2017
Da62536_002.TIF	Oversiktsbilde av planområdet innen oppstart med maskin		vest	KBD	18.09.2017
Da62536_003.TIF	Oversiktsbilde av planområdet innen oppstart med maskin		øst	KBD	18.09.2017
Da62536_004.TIF	Arbeidsbilde fra avdekkingen		sørvest	JSPE	18.09.2017
Da62536_005.TIF	Arbeidsbilde fra avdekkingen		sørvest	JSPE	18.09.2017
Da62536_006.TIF	Arbeidsbilde		vest	KBD	19.09.2017
Da62536_007.TIF	Oversiktsbilde. Sandjordslag 2008. 1,0 m målestokk	2008	vest	KBD	19.09.2017
Da62536_008.TIF	Oversiktsbilde. Sandjordslag 2008. 1,0 m målestokk	2008	vest	KBD	19.09.2017
Da62536_009.TIF	Oversiktsbilde. Sandjordslag 2008. Uten målestokk	2008	øst	KBD	19.09.2017
Da62536_010.TIF	Situasjonsbilde. Rest av sandjordslag 2008, samt underliggende torvlag 2054. 1,0 m målestokk	2008, 2054	øst	JSPE	19.09.2017
Da62536_011.TIF	Detaljbilde av overflaten til torvlag 2054. 50 cm målestokk	2054	sør	JSPE	19.09.2017
Da62536_012.TIF	Arbeidsbilde fra avdekkingen av naturdannelsen (torvlaget) 2054 i den sørvestre delen av feltet	2054	nordøst	JSPE	19.09.2017
Da62536_013.TIF	Arbeidsbilde fra avdekkingen av naturdannelsen (torvlaget) 2054 i den sørvestre delen av feltet	2054	nord	JSPE	19.09.2017
Da62536_014.TIF	Utsnitt av situasjon i sørvestre del av feltet med torvlag 2054 over grått utvaskingslag. 1,0 m målestokk	2054	øst	JSPE	19.09.2017
Da62536_015.TIF	Arbeidsbilde fra avdekkingen av lagsekvens i den sørøstre delen av feltet		vest	JSPE	19.09.2017
Da62536_016.TIF	Profil 2088. Elveavsetning. Stikkstanglengde: 1,5 m. Målestokk: 1,0 m	2088	vest	JSPE	19.09.2017
Da62536_017.TIF	Profil 2088. Elveavsetning. Stikkstanglengde: 1,5 m. Målestokk: 1,0 m	2088	vest	JSPE	19.09.2017
Da62536_018.TIF	Mulig kulturlag (lys lillabrunt) som ble avskrevet som et naturlig, fossilt torvlag	2054	sør	KBD	22.09.2017
Da62536_019.TIF	Mulig kulturlag (lys lillabrunt) som ble avskrevet som et naturlig, fossilt torvlag	2054	sør	KBD	22.09.2017
Da62536_020.TIF	Mulig kulturlag (lys lillabrunt) som ble avskrevet som et naturlig, fossilt torvlag	2054	sør	KBD	22.09.2017
Da62536_021.TIF	Mulig kulturlag (lys lillabrunt) som ble avskrevet som et naturlig, fossilt torvlag	2054	nord	KBD	22.09.2017
Da62536_022.TIF	Overflatebilde, id 2682. Målestokk: 40 cm	2682	øst	FI	22.09.2017
Da62536_023.TIF	Profilbilde av id. 2682. Målestokk: 40 cm	2682	øst	FI	22.09.2017
Da62536_024.TIF	Mulig kulturlag (lys lillabrunt) som ble avskrevet som et naturlig, fossilt torvlag	2054	sør	KBD	22.09.2017
Da62536_025.TIF	Overflatebilde id. 2699. Målestokk: 40cm	2699	nord	FI	22.09.2017
Da62536_026.TIF	Profilbilde av id. 2699. Målestokk: 40 cm	2699	nord	FI	22.09.2017
Da62536_027.TIF	Planfoto av 2194. 1,0 m målestokk	2194	nord	JSPE	22.09.2017
Da62536_028.TIF	Oversiktsbilde id. 2283. Målestokk: 40 cm	2283	øst	FI	22.09.2017
Da62536_029.TIF	Profilbilde av id. 2283. Målestokk: 40 cm	2283	øst	FI	22.09.2017
Da62536_030.TIF	Profilbilde av naturdannelsen 2194. 1,0 m målestokk.	2194	nord	JSPE	22.09.2017
Da62536_031.TIF	Arbeidsbilde. Frode snitter og dokumenterer en liten kokegrop			JSPE	25.09.2017
Da62536_032.TIF	Arbeidsbilde. Frode snitter og dokumenterer en liten kokegrop			JSPE	25.09.2017
Da62536_033.TIF	Arbeidsbilde. Undersøkelse av mulige kulturlag			JSPE	25.09.2017
Da62536_034.TIF	Arbeidsbilde etter fjerning av 2969 (avskrevet som torvlag 2054)	2054	sør	KBD	25.09.2017
Da62536_035.TIF	Planfoto av 2169. 30 cm målestokk	2169	øst	JSPE	25.09.2017
Da62536_036.TIF	Profilbilde av linse 2169. 30 cm målestokk	2169	øst	JSPE	25.09.2017
Da62536_037.TIF	Planfoto av 2160. 30 cm målestokk	2160	nord	JSPE	25.09.2017

Da62536_038.TIF	Profilfoto av linse 2160. Avskrevet. 30 cm målestokk	2160	nord	JSPE	25.09.2017
Da62536_039.TIF	Planfoto av kokegrop 2178. 50 cm målestokk	2178	nordøst	JSPE	25.09.2017
Da62536_040.TIF	Oversiktsbilde av id. 2301. Målestokk: 50 cm	2301	sørøst	FI	25.09.2017
Da62536_041.TIF	Profilfoto av kokegrop 2178. 50 cm målestokk	2178	nordøst	JSPE	25.09.2017
Da62536_042.TIF	Profilbilde av id 2301. Målestokk: 50 cm	2301	sørøst	FI	25.09.2017
Da62536_043.TIF	Området etter fjerning av 3036	2054	øst	KBD	25.09.2017
Da62536_044.TIF	Området etter fjerning av 3036	2054	sør	KBD	25.09.2017
Da62536_045.TIF	Området etter fjerning av 3036	2054	vest	KBD	25.09.2017
Da62536_046.TIF	Planfoto av 2509 (til venstre) og 2494 (til høyre). 1,0 m målestokk	2509, 2494	øst	JSPE	25.09.2017
Da62536_047.TIF	Profilfoto av linser 2509 (til venstre) og 2494 (til høyre). 1,0 m målestokk	2509, 2494	øst	JSPE	25.09.2017
Da62536_048.TIF	Overflatebilde av id 2564. Målestokk: 50 cm	2564	sørøst	FI	25.09.2017
Da62536_049.TIF	Planfoto av kokegrop 2123. 1,0 m målestokk	2123	nordøst	JSPE	25.09.2017
Da62536_050.TIF	Profilbilde av id 2564. Målestokk: 40 cm	2564	sørøst	FI	26.09.2017
Da62536_051.TIF	Profilfoto av kokegrop 2123. 1,0 m målestokk	2123	nordøst	JSPE	26.09.2017
Da62536_052.TIF	Oversiktsbilde av id 2449. Målestokk: 1,0 m	2449	nordøst	FI	26.09.2017
Da62536_053.TIF	Profilbilde av id 2449. Målestokk: 1,0 m	2449	nordøst	FI	26.09.2017
Da62536_054.TIF	Oversiktsbilde av id 2470. Målestokk; 1,0 m	2470	øst	FI	26.09.2017
Da62536_055.TIF	Planfoto av ildsted 2521. 50 cm målestokk	2521	øst	JSPE	26.09.2017
Da62536_056.TIF	Detaljfoto av ufullstendig forkullet vedkubbe i ildsted 2521. Kullprøve 3280 ble tatt fra ytterveden. 10 cm målestokk	2521	nordøst	JSPE	26.09.2017
Da62536_057.TIF	Oversikt over konteksten til vedkubben i ildsted 2521. 10 cm målestokk	2521	øst	JSPE	26.09.2017
Da62536_058.TIF	Detaljfoto av ufullstendig forkullet vedkubbe i ildsted 2521. Kullprøve 3280 ble tatt fra ytterveden	2521	nordøst	JSPE	26.09.2017
Da62536_059.TIF	Profilfoto av ildsted 2521. 50 cm målestokk	2521	øst	JSPE	26.09.2017
Da62536_060.TIF	Kokegrop, planbilde	3145	sør	KBD	26.09.2017
Da62536_061.TIF	Kokegrop, profilbilder	3145	sør	KBD	26.09.2017
Da62536_062.TIF	Planfoto av kokegrop 2254. 1,0 m målestokk	2254	nordvest	JSPE	26.09.2017
Da62536_063.TIF	Planfoto av kokegrop 2254	2254	nordvest	JSPE	26.09.2017
Da62536_064.TIF	Profilbilde av id 2470. Målestokk: 1,0 m	2470	øst	FI	27.09.2017
Da62536_065.TIF	Profilbilde etter undersøkelse av mulig overgang mellom id 2470 og 2449. Bilde viser at id 2449 stopper før den når id 2470 som er synlig til venstre. Målestokk: 20 cm	2470 2449	øst	FI	27.09.2017
Da62536_066.TIF	Profilbilde av kokegropen uten målestokk	3145	nord	KBD	27.09.2017
Da62536_067.TIF	Profilfoto av kokegrop 2254. 50 cm målestokk	2254	nordvest	JSPE	27.09.2017
Da62536_068.TIF	Profilfoto av kokegrop 2254	2254	nordvest	JSPE	27.09.2017
Da62536_069.TIF	Profilfoto av kokegrop 2254	2254	nordvest	JSPE	27.09.2017
Da62536_070.TIF	Arbeidsbilde. Kokstein tatt ut fra sørøstre halvdel av kokegrop 2254. 50 cm målestokk	2254	nordvest	JSPE	27.09.2017
Da62536_071.TIF	Avskrevet struktur	3157	sørvest	KBD	27.09.2017
Da62536_072.TIF	Planbilde av kokegrop med utkast i sør	3172	vest	KBD	27.09.2017
Da62536_073.TIF	Arbeidsbilde av halveis snittet kokegrop. Viser sore steiner over kullrand. Bilde tatt med målestokk	3172	vest	KBD	27.09.2017
Da62536_074.TIF	Profilbilde av halveis snittet kokegrop. Bilde viser store steiner over kullrand. Bilde tatt uten målestokk	3172	vest	KBD	27.09.2017
Da62536_075.TIF	Planfoto av 2398. 50 cm målestokk	2398	øst	JSPE	27.09.2017
Da62536_076.TIF	Profilbilde av kokegrop	3172	vest	KBD	27.09.2017
Da62536_077.TIF	Profilfoto av 2398. 50 cm målestokk	2398	øst	JSPE	27.09.2017
Da62536_078.TIF	Planfoto av kokegrop 2620	2620	vest	JSPE	27.09.2017



Da62536_079.TIF	Oversiktsbilde av id 2638. Målestokk: 1,0 m	2638	sørvest	FI	27.09.2017
Da62536_080.TIF	Oversiktsbilde av id 2638. Formidlingsbilde uten nordpil og målestokk	2638	sørvest	FI	27.09.2017
Da62536_081.TIF	Planfoto av kokegrop 2620. 50 cm målestokk	2620	vest	JSPE	27.09.2017
Da62536_082.TIF	Profilfoto av kokegrop 2620. 50 cm målestokk	2620	vest	JSPE	27.09.2017
Da62536_083.TIF	Profilfoto av kokegrop 2620	2620	vest	JSPE	27.09.2017
Da62536_084.TIF	Avskrevet struktur	3231	øst	KBD	27.09.2017
Da62536_085.TIF	Avskrevet struktur	3197	nordøst	KBD	27.09.2017
Da62536_086.TIF	Profilbilde av id 2638 målestokk 50 cm	2638	sørvest	FI	28.09.2017
Da62536_087.TIF	Avskrevet struktur	3214	nordøst	KBD	28.09.2017
Da62536_088.TIF	Avskrevet struktur	3214	sørvest	KBD	28.09.2017
Da62536_089.TIF	Planbilde, kokegrop	2594	nord	KBD	28.09.2017
Da62536_090.TIF	Profilbilde av kokegrop	2594	nord	KBD	28.09.2017
Da62536_091.TIF	Profilbilde av kokegrop uten målestokk	2594	nord	KBD	28.09.2017
Da62536_092.TIF	Planbilde, avfallsgrop	2877	nordvest	KBD	28.09.2017
Da62536_093.TIF	Oversiktsbilde av id 3241. Målestokk: 30 cm	3241	nordøst	FI	28.09.2017
Da62536_094.TIF	Profilbilde id 3241: Målestokk: 30 cm	3241	nordøst	FI	28.09.2017
Da62536_095.TIF	Oversiktsbilde av id 2607. Målestokk: 50 cm	2607	sør	FI	28.09.2017
Da62536_096.TIF	Oversiktsbilde av id 2607, uten nordpil og målestokk	2607	sør	FI	28.09.2017
Da62536_097.TIF	Profilbilde av id 2607. Målestokk: 50 cm	2607	sør	FI	28.09.2017
Da62536_098.TIF	Profilbilde av avfallsgrop 2877. 1,0 m målestokk	2877	nord	KBD	28.09.2017
Da62536_099.TIF	Profilbilde av avfallsgrop 2877. 1,0 m målestokk	2877	nord	KBD	28.09.2017
Da62536_100.TIF	Profilbilde av avfallsgrop 2877	2877	nord	KBD	28.09.2017
Da62536_101.TIF	Planfoto av kokegrop 2534. 50 cm målestokk	2534	nord	FI	28.09.2017
Da62536_102.TIF	Planfoto av kokegrop 2534	2534	nord	FI	28.09.2017
Da62536_103.TIF	Profilbilde id 2534 målestokk 50cm 1 av 3	2534	vest	FI	29.09.2017
Da62536_104.TIF	Oversiktsbilde etter avsluttet gravning		øst	JSPE	29.09.2017
Da62536_105.TIF	Oversiktsbilde etter avsluttet gravning		sørøst	JSPE	29.09.2017
Da62536_106.TIF	Oversiktsbilde etter avsluttet gravning		nordøst	JSPE	29.09.2017
Da62536_107.TIF	Ortomosaikk av fotogrammetri 3, nordre profilvegg midt på feltet (nord for id 3145 og id 2607)	2008, 2054, 2969	nord	JSPE	29.09.2017

### Vedlegg 3: Liste over fotogrammetrier

Nr.	Motiv	Kontekst	Bruk	Arkivering	Filnavn	Fotograf	Opptaksdato
1	Mulige kulturlag (avskrevet)	2054	Forkastet	Ingen	-	JSPE	21.09.2017
2	Oversikt over feltet før snitting	Alle	3D-modell, ortomosaikk, arbeidsmodell	Fullstendig	Da62552	JSPE	22.09.2017
3	Profil, nordlig feltgrense	2008, 2054	Ortomosaikk, arbeidsmodell	Ortomosaikk	Da62536_107	JSPE	29.09.2017

## Vedlegg 4: Fullstendig funnliste

T-nummer	Funn-id	Gjenstand	Form	Ant.	Ant. frag.	Matr.	Vekt	Kontekst	Lag
-	2033	Fragment		1		jern		2008	
-	2033	Slagg		1		slagg		2008	
-	2681	Ubestemt		1	2	jern		2008	
-	3395	Nagle		1		jern		2008	
<b>T:27773:1</b>	2082	Bryne	hein	1		skifer		2054	
<b>T:27773:2</b>	4003	Osteologisk	brent animalosteologisk	2		bein	0,07 g	2877	2
<b>T:27773:3</b>	4002	Osteologisk	brent animalosteologisk	11		bein	0,30 g	2877	2-3
<b>T:27773:4</b>	4001	Osteologisk	brent animalosteologisk	2		bein	0,65 g	2927	

## Vedlegg 5: Katalogtekst, T27773

T27773/1-4

**Boplassfunn (gårdsanlegg)** fra jernalder/folkevandringstid fra NESTVOLDJORDET, av NESTVOLD STORE (16/1), VERDAL K., NORD-TRØNDELAGE.

1) **Bryne** (hein) av skifer. *Gjenstandsdel:* midtparti. *Antall:* 1. *Antall fragmenter:* 1

Bruddstykke fra midtpartiet til blålig grå skiferbryne. Slipeflaten er av en brunere gråfarge. Opprinnelig slipeflate savnes fullstendig på den ene smalsiden og nesten fullstendig på den ene breidsiden. Ingen tydelige slipepor sees, men et par mulige finnes på tvers av lengderetningen til den best bevarte breidsiden.

*Mål:* L: 7,1 cm. B: 2,4 cm. T: 1,0 cm.

*Strukturnr:* 2054

*Fnr:* 2082

2) **Osteologisk materiale** (brent animalosteologisk) av bein. *Antall:* 2. *Antall fragmenter:* 2.

*Vekt:* 0,65 gram

*Strukturnr:* 2927

*Fnr:* 4001

3) **Osteologisk materiale** (brent animalosteologisk) av bein. *Antall:* 11. *Antall fragmenter:* 11.

*Vekt:* 0,3 gram.

*Strukturnr:* 2877

*Fnr:* 4002

4) **Osteologisk materiale** (brent animalosteologisk) av bein. *Antall:* 2. *Antall fragmenter:* 2.

*Vekt:* 0,07 gram.

*Strukturnr:* 2877

*Fnr:* 4003

*Funnomstendighet:* Arkeologisk utgravning

I forbindelse med områderegulering for deler av Nestvold (gbnr. 16/1) i Verdal kommune, Trøndelag, oppstod en konflikt med et automatisk fredet kulturminne (id 215821) tolket som et bosetnings- og aktivitetsområde med spor etter både stolpehull og kulturlag knyttet til hus og kokegroper. Høsten 2017 undersøkte NTNU Vitenskapsmuseet lokaliteten ved bruk av maskinell flateavdekking. Av 61 kontekster som ble knyttet til lokaliteten, ble 12 tolket som kokegroper og 5 som øvrige førreformatoriske strukturer, 3 ble tolket som fossile lag, og 41 kontekster ble avskrevet som naturdannelser eller moderne. De potensielle sporene etter stolpehull fra hus ble omtolket til små kokegroper, og kulturlaget ble tolket som et mye yngre fossilt dyrkingslag. Lokaliteten ble derfor tolket som et kokegropfelt fra eldre jernalder med overvekt av dateringer til perioden yngre romertid – folkevandringstid (fase 2). Den eldste kokegropen synes derimot å være fra førromersk jernalder (fase 1). Et noe særskilt trekk ved kokegropene var at mange av disse var usedvanlig små, med tverrmål som ligger på mellom 0,44 m og 1,01 m. I tillegg til kokegropene har det blant

annet blitt anlagt en mulig avfallsgrop i fase 2. Kokegropfeltet ble forlatt i løpet av folkevandringstid, og med unntak av sporadisk bruk synes området å ha ligget brakk til og med deler av middelalderen (fase 3). Sannsynligvis i løpet av middelalderen eller i begynnelsen av nyere tid (fase 4) har området blitt oppdyrket. Alt funnmateriale stammer fra fase 3 (bl. a. sekundærbruk av avfallsgrop) og fase 4.

*Kartreferanse/-koordinater:* Projeksjon: EU89-UTM; Sone 33, N: 7079975.30, Ø: 326605.58

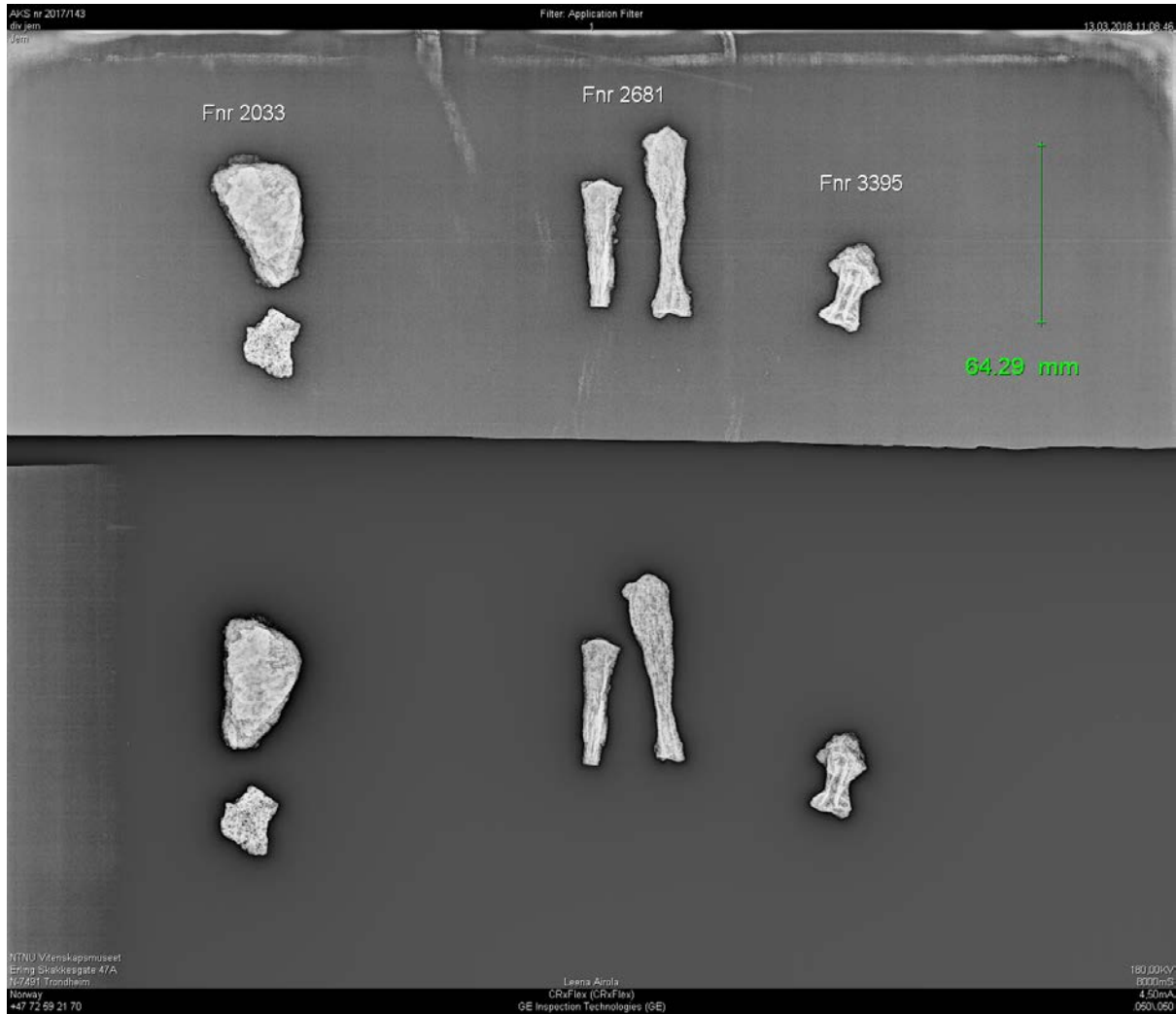
*Lokalitets-ID:* 215821

*Funnet av:* Jo Sindre P. Eidshaug/Staale Normann

*Funnår:* 2017

*Katalogisert av:* Jo Sindre Eidshaug

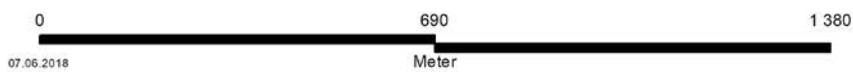
## Vedlegg 6: Røntgenfoto av jerngjenstander



## Vedlegg 7: Kart



Nestvoldjordet 2017



Tegnforklaring

Lokalitet

 Id 215821

 **NTNU**  
Vitenskapsmuseet  
Seksjon for arkeologi og kulturhistorie



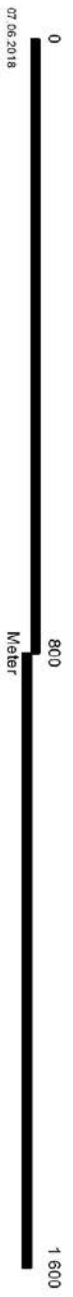
## Nestvoldfjordet 2017

### Tegnforklaring

Id 215821

Lokalitet

Sikringssone



Vitenskapsmuseet  
Seksjon for arkeologi og kulturhistorie





## Nestvoldfjordet 1950



07.06.2018

### Tegnforklaring

Id 215821

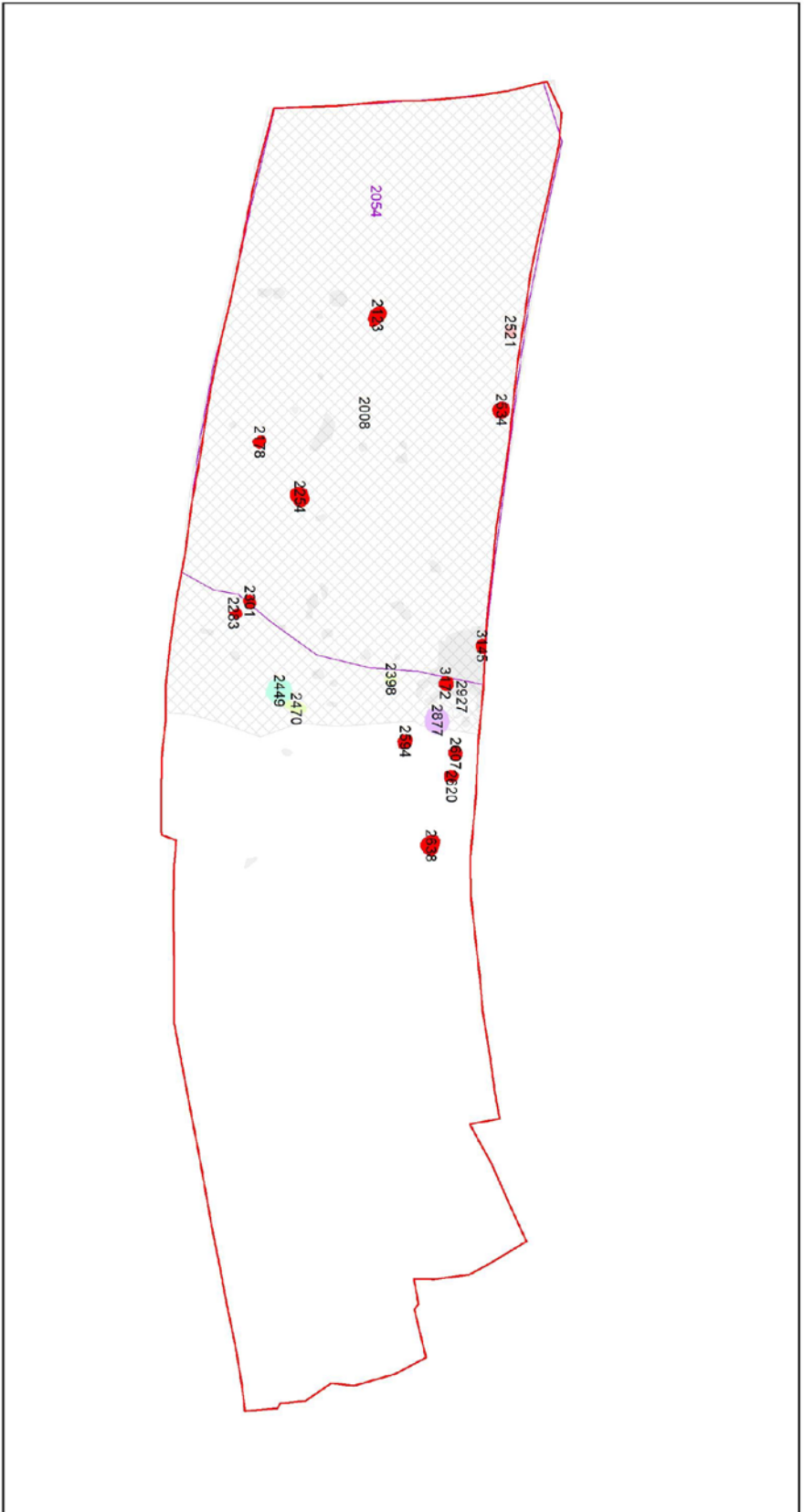
Lokalitet

Sikringssone



Vitenskapsmuseet

Seksjon for arkeologi og kulturhistorie



Nestvoldfjordet



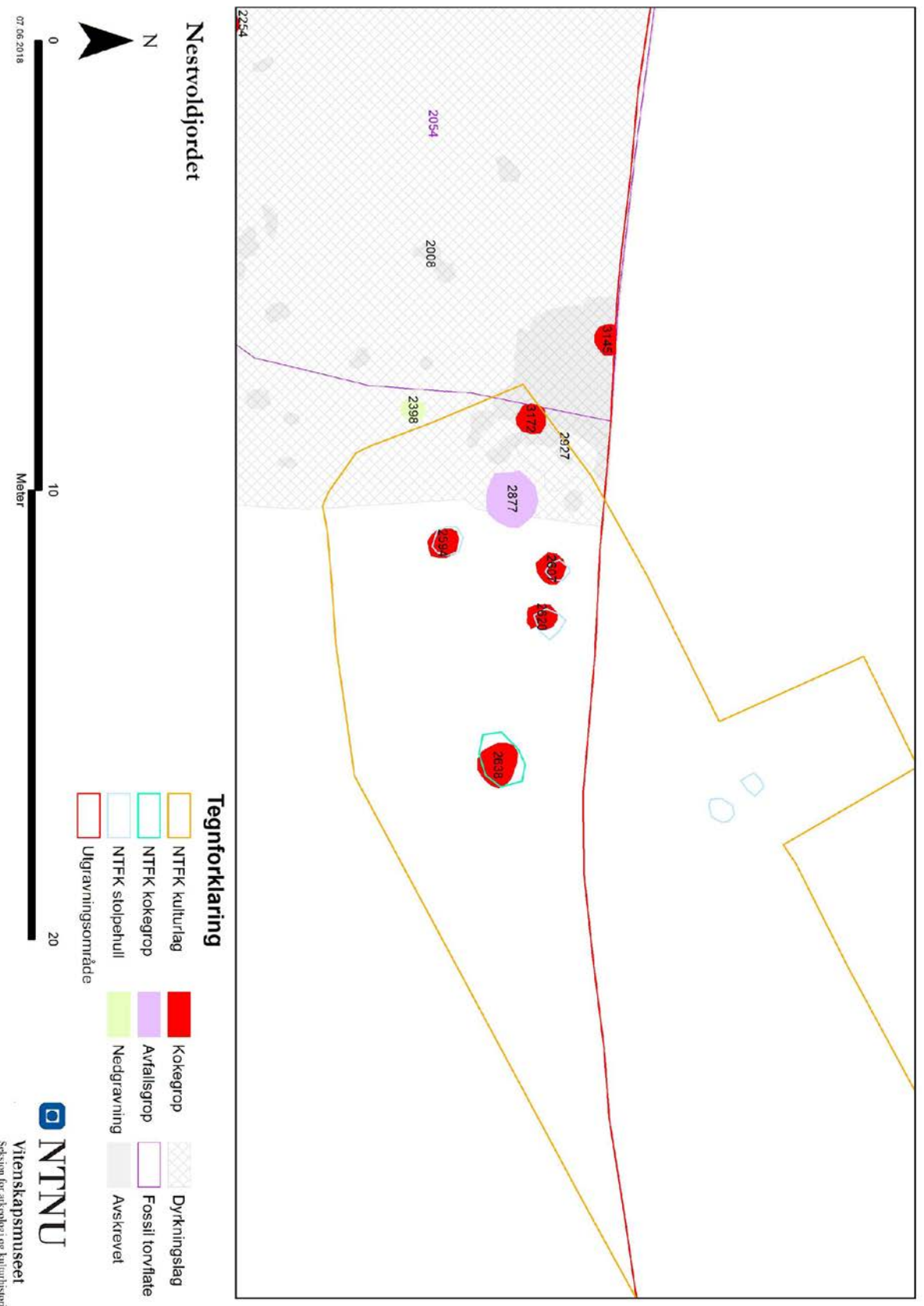
50

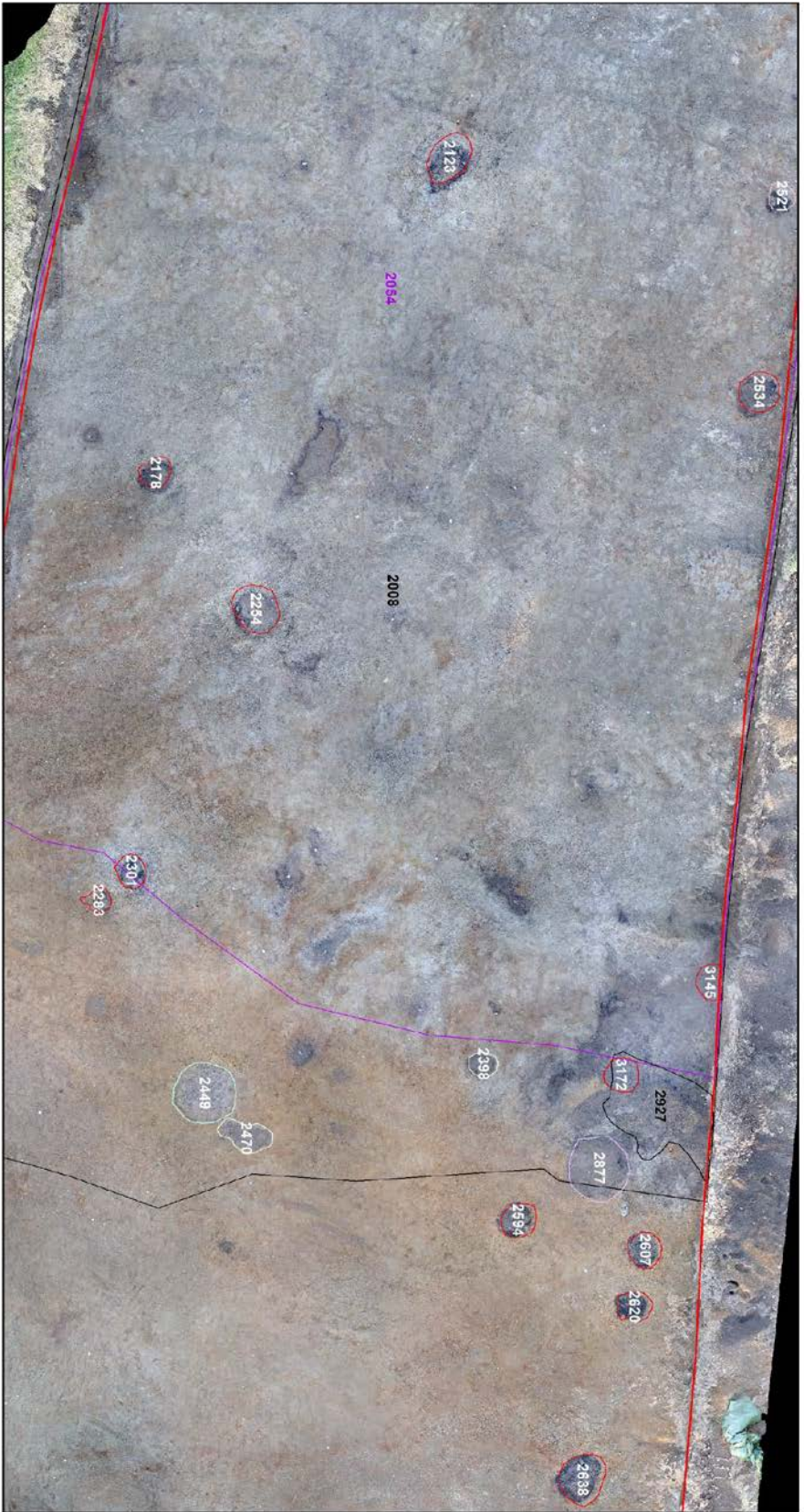
Tegnforklaring

- Ulgravningsområde
- Kokegrop (12)
- Avfallsgrup (1)
- Grop (1)
- Ildsted (1)
- Nedgravning (2)
- Dyrkningslag (2)
- Fossil forvflate (1)
- Avskrevet (41)



Vitenskapsmuseet  
Seksjon for arkeologi og kulturhistorie





## Nestvoldfjordet



### Tegnforklaring

- |   |                    |   |                 |   |                      |
|---|--------------------|---|-----------------|---|----------------------|
|  | Uligravningsområde |  | Grop (1)        |  | Dyrkningslag (2)     |
|  | Kokegrop (12)      |  | Ildsted (1)     |  | Fossil torvflate (1) |
|  | Avfallsgrøp (1)    |  | Nedgravning (2) |   |                      |

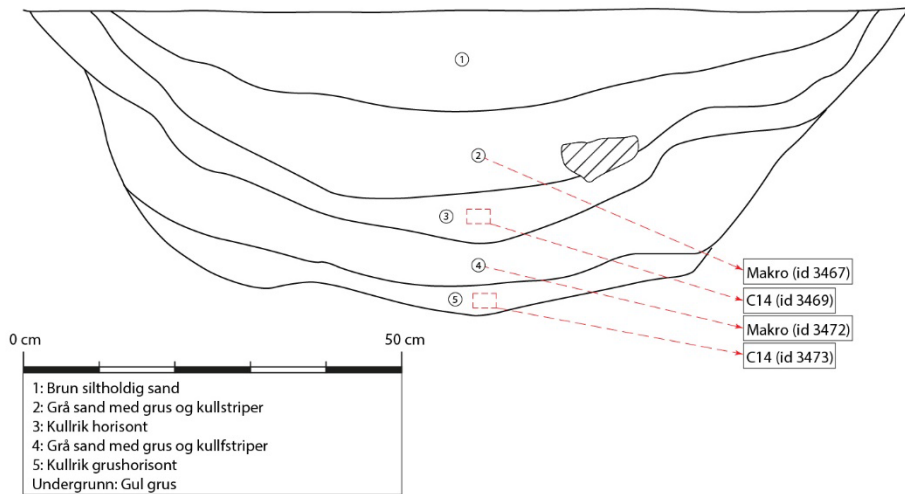
## Vedlegg 8: Ortomosaikk



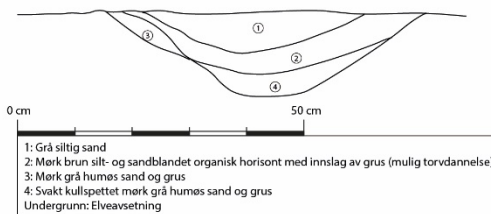


## Vedlegg 9: Tegninger

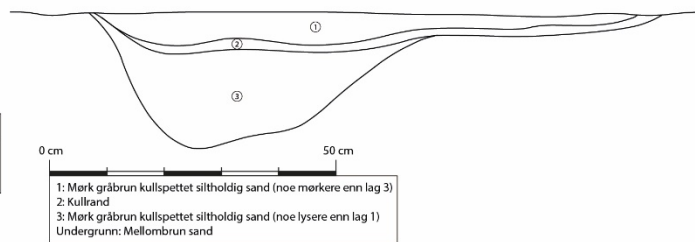
**Struktur-id 2877**  
Avfallsgrop  
1:10, KBD, 28/09-17



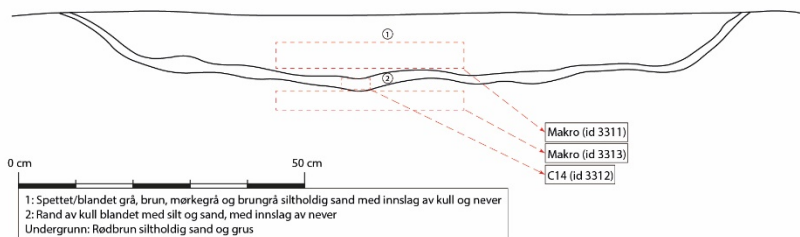
**Struktur-id 2398**  
Mulig nedgraving  
1:10, JSPE, 27/09-17



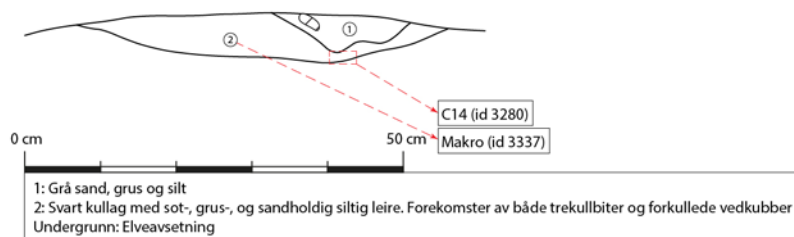
**Struktur-id 2470**  
Nedgraving  
1:10, Fl, 26/09-17



**Struktur-id 2449**  
Grop  
1:10, Fl, 26/09-17



**Struktur-id 2521**  
Ildsted  
1:10, JSPE, 26/09-17

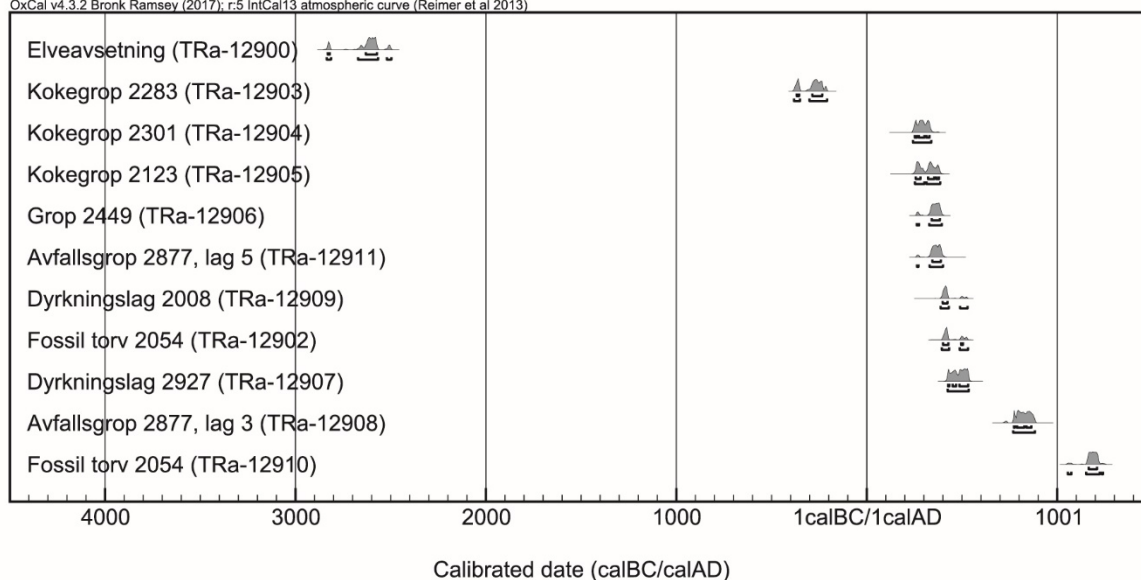


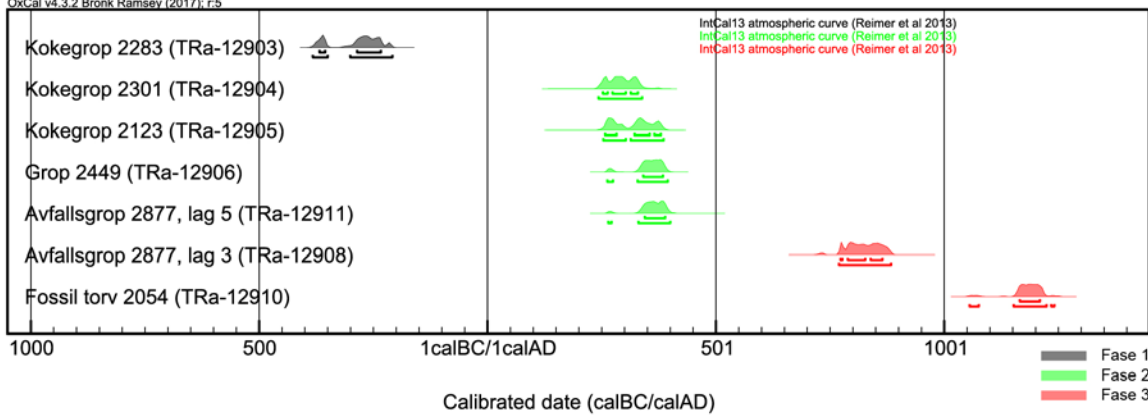
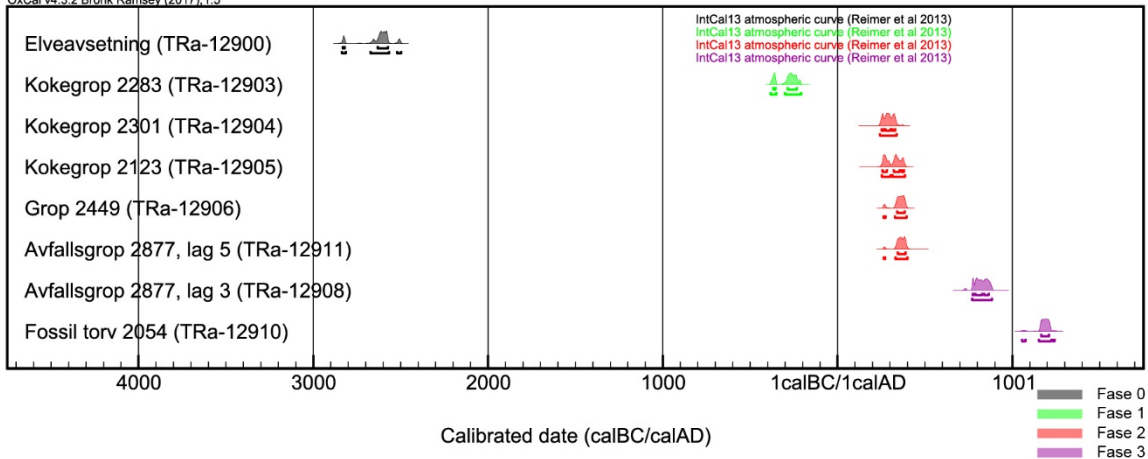


## Vedlegg 10: Dateringer og treartsbestemmelse

Kontekst (id)	Kontekst	Lag	Prøve-id	Lab. ref.	Treart	14C-alder	Kalibrert alder (1 $\sigma$ , 68.2%)	Kalibrert alder (2 $\sigma$ , 95.4%)
2088	Markoverflate under elveavsetning		2092	TRa-12900	1 <i>Alnus</i>	4074 $\pm$ 20	2831 – 2821 / 2631 – 2573 f. Kr.	2837 – 2815 / 2672 – 2567 / 2521 – 2498 f. Kr.
2969			3021	TRa-12901		--		
2054	Fossil torv (markoverflate)		3022	TRa-12902	1 <i>Salix/Populus</i> (?)	1617 $\pm$ 13	401 – 429 / 497 – 506 e. Kr.	395 – 434 / 489 – 533 e. Kr.
2283	Kokegrop	1	3035	TRa-12903	1 <i>Alnus</i> , 1 <i>Salix/Populus</i>	2241 $\pm$ 15	369 – 356 / 286 – 234 f. Kr.	383 – 351 / 301 – 209 f. Kr.
2301	Kokegrop	2	3108	TRa-12904	1 <i>Betula</i> (kvist), 1 <i>Alnus</i>	1745 $\pm$ 14	253 – 264 / 274 – 303 / 314 – 330 e. Kr.	244 – 339 e. Kr.
2123	Kokegrop	4	3126	TRa-12905	1 <i>Alnus</i> , 1 <i>Betula</i>	1720 $\pm$ 19	258 – 283 / 323 – 356 / 366 – 380 e. Kr.	254 – 303 / 314 – 386 e. Kr.
2449	Grop	2	3312	TRa-12906	2 <i>Alnus</i> (kvister)	1695 $\pm$ 14	342 – 385 e. Kr.	263 – 275 / 329 – 395 e. Kr.
2927	Fossilt dyrkingslag		3466	TRa-12907	1 <i>Alnus</i> , 1 <i>Salix/Populus</i>	1579 $\pm$ 14	428 – 435 / 451 – 471 / 487 – 534 e. Kr.	425 – 537 e. Kr.
2877	Avfallsgrop	3	3469	TRa-12908	1 <i>Betula</i> , 1 <i>Salix/Populus</i>	1205 $\pm$ 16	774 – 778 / 790 – 828 / 840 – 865 e. Kr.	770 – 884 e. Kr.
2008	Fossilt dyrkingslag		3470	TRa-12909	3 bark, 4 <i>Alnus</i> , 2 <i>Salix/Populus</i> , 2 <i>Betula</i>	1626 $\pm$ 15	399 – 425 e. Kr.	388 – 432 / 491 – 530 e. Kr.
2054	Fossil torv (markoverflate)		3471	TRa-12910	2 <i>Betula</i> (kvister)	860 $\pm$ 21	1166 – 1210 e. Kr.	1056 – 1076 / 1153 – 1225 / 1235 – 1242 e. Kr.
2877	Avfallsgrop	5	3473	TRa-12911	2 <i>Betula</i> (1 kvist)	1687 $\pm$ 15	345 – 390 e. Kr.	265 – 272 / 331 – 401 e. Kr.

OxCal v4.3.2 Bronk Ramsey (2017); r:5 IntCal13 atmospheric curve (Reimer et al 2013)





## Vedlegg 11: Makrofossiler

Kontekst (id)	Kontekst	Lag	Prøve (id)	Volum (ml)	Innhold (alle komponenter)	Slitasjegrad
2054	Fossil torv		3016	50	kull	skarpkantede + avrundete
2449	Grop	1	3311	5	kull	skarpkantede + avrundete
2283	Kokegrop	1	3333	25	kull	skarpkantede + lett avrundete
2301	Kokegrop	2	3334	900	kull	skarpkantede
2123	Kokegrop	4	3336	295	kull	skarpkantede
2927	Fossilt dyrkingslag		3465	55	kull	skarpkantede + avrundete
2877	Avfallsgrop	2	3467	35	kull	skarpkantede
2877	Avfallsgrop	4	3472	120	kull	skarpkantede





**NTNU Vitenskapsmuseet** er en enhet ved Norges teknisk-naturvitenskapelige universitet, NTNU.

NTNU Vitenskapsmuseet skal utvikle og formidle kunnskap om natur, kultur og vitenskap. Museet skal sikre og forvalte de vitenskapelige samlingene og aktivisere dem gjennom forskning, formidling og undervisning.

Seksjon for arkeologi og kulturhistorie har forvaltningsansvar for automatisk fredete kulturminner og skipsfunn i Nordmøre, Sør-Trøndelag, Nord-Trøndelag, nordlige Romsdal og Nordland til og med Rana. Seksjonen foretar arkeologiske undersøkelser på kulturminner over og under vann, i henhold til kulturminneloven.

ISBN 978-82-8322-147-3  
ISSN 2387-3965

© NTNU Vitenskapsmuseet  
Publikasjonen kan siteres fritt med kildeangivelse

[www.ntnu.no/vitenskapsmuseet](http://www.ntnu.no/vitenskapsmuseet)